

*2ej. 65*



UNIVERSIDAD NACIONAL AUTONOMA DE MEXICO

FACULTAD DE INGENIERIA

"INSTRUCTIVO PARA REALIZAR PRUEBAS DE  
MECANICA DE SUELOS EN EL LABORATORIO  
DE LA FACULTAD DE INGENIERIA DE LA  
UNAM. 2A. PARTE. CARACTERISTICAS  
MECANICAS E HIDRAULICAS"

T E S I S  
QUE PARA OBTENER EL TITULO DE  
INGENIERO CIVIL  
P R E S E N T A :  
ALEJANDRO LOPEZ MANJARREZ



**UNAM – Dirección General de Bibliotecas**

**Tesis Digitales**  
**Restricciones de uso**

**DERECHOS RESERVADOS ©**  
**PROHIBIDA SU REPRODUCCIÓN TOTAL O PARCIAL**

Todo el material contenido en esta tesis está protegido por la Ley Federal del Derecho de Autor (LFDA) de los Estados Unidos Mexicanos (México).

El uso de imágenes, fragmentos de videos, y demás material que sea objeto de protección de los derechos de autor, será exclusivamente para fines educativos e informativos y deberá citar la fuente donde la obtuvo mencionando el autor o autores. Cualquier uso distinto como el lucro, reproducción, edición o modificación, será perseguido y sancionado por el respectivo titular de los Derechos de Autor.

# **TESIS CON FALLA DE ORIGEN**



MEMORANDUM

ATENIDA

A) Paseante señor ALEJANDRO LOPEZ MARJARREZ,  
P R O F E S I O N I S T A .

En atención a su solicitud relativa, me es grato transcribir a usted a continuación el tema que aprobado por este Directorio propuso el Profesor Ing. Francisco Zamora Millán, para que lo desarrolle como tesis en su Examen Profesional de Ingeniería CIVIL.

"INSTRUCTIVO PARA REALIZAR PRUEBAS DE RECARGA DE SUELOS EN EL LABORATORIO DE LA FACULTAD DE INGENIERIA DE LA UNAM, 2a. PARTE. CARACTERISTICAS RECABICAS E HIDRAULICAS"

- I. Introducción
- II. Prueba de permeabilidad
- III. Prueba de consolidación tridimensional
- IV. Pruebas de resistencia al esfuerzo cortante
  - IV.1 Pruebas triaxiales
  - IV.2 Prueba de compresión simple
  - IV.3 Prueba de corte directo
- V. Conclusiones

Pruedo a usted se sirva tomar debido nota de que al cumplimiento de lo especificado por la Ley de Profesiones, deberá presentar Servicio Social durante un tiempo mínimo de seis meses como requisito indispensable para sustentar Examen Profesional así como de la disposición de la Dirección General de Servicios Escolares en el sentido de que se imprima en lugar visible de los ejemplares de la tesis, el título del trabajo realizado.

ATENTAMENTE  
"POB RI RAZA HABLARA EL ESPIRITU"  
C.P. Universitaria, 3 de Septiembre de 1979  
EL DIRECTOR

JAVIER JIMENEZ ESPINOZA

JJE/JSE/ser

## CAPITULO I

### INTRODUCCION .

El instructivo para realizar pruebas de Laboratorio de Mecánica de Suelos en la facultad de Ingeniería de la UNAM se ha dividido en 3 partes que son:

- 1.- Propiedades Índice
- 2.- Características mecánicas e hidráulicas
- 3.- Compacación.

El presente trabajo es la segunda de éstas partes, y en él se describen pruebas importantes como son las de permeabilidad, consolidación y resistencia al esfuerzo cortante.

Se inicia la presentación de cada una de las pruebas con una descripción del porqué y para qué se realizan; en seguida, se muestra el diagrama de flujo que señala la secuencia de actividades necesarias para realizar la prueba y finalmente se hace una descripción detallada con la ayuda de filmillas. De esta manera se presenta cada prueba de 3 formas diferentes con lo que se busca una mejor comprensión de ellas.

Al final de cada prueba se da un ejemplo del cálculo de ella.

Este trabajo busca principalmente ayudar a los alumnos del área de Geotécnica a comprender mejor los conceptos obtenidos en clase, así como capacitarlos para realizar pruebas de laboratorio; pero también

se aspira a que una persona que no se dedique a ésta rama de la ingeniería pueda encontrar material que le sea de utilidad.

En todos los casos se ha buscado dar crédito debido al autor de las relaciones utilizadas, si en algún caso no se ha cumplido éste propósito se hace laclaración que ha sido un error sin intención de dolo. Para la realización de este estudio se consultaron libros especializados de Mecánica de Suelos, Instructivos de pruebas de Laboratorio, revistas etc.; así como también se siguieron las valiosas indicaciones del Ing. Francisco Zamora Millán Jefe del Departamento de Geotecnia de la Facultad de Ingeniería de la UNAM.

## CAPITULO II

### PRUEBA DE PERMEABILIDAD

#### II.1 Introducción.

El flujo de agua a través de los suelos, está regido por una ley establecida en 1856 por Henry Darcy.

Con un dispositivo como el que se muestra en la figura II.1, Darcy demostró experimentalmente que para velocidades de flujo laminar, el gasto queda expresado como sigue:

$$Q = k i A \quad (\text{II.1})$$

$$v = k i \quad (\text{II.2})$$

en donde:

$Q$  = gasto que pasa a través de la muestra

$k$  = coeficiente de permeabilidad

$i$  = gradiente hidráulico

$A$  = área total de la sección transversal de la muestra

$v$  = velocidad aparente del agua

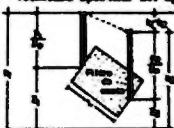


Fig. II.1

La velocidad  $v$  es solo aparente porque en el área A por donde pasa el agua existen sólidos y se reduce el área  $A_v = An$ , donde  $n$  es la porosidad. Por consiguiente la velocidad real  $V_r$  será

$$V_r = \frac{v}{n} \quad (II.3)$$

El flujo es laminar cuando las partículas se mueven siguiendo trayectorias separadas, perfectamente definidas, no necesariamente paralelas, sin existir mezcla o intercambio transversal entre ellas.

El coeficiente de permeabilidad  $K$ , del suelo, indica la mayor o menor facilidad con que el agua fluye a través de él, es función del tamaño y forma de las partículas que lo componen, de la relación de vacíos, grado de saturación y solubilidad de sus componentes sólidos; también es función de las propiedades del agua esencialmente la viscosidad, la cual varía con la temperatura. Con objeto de establecer una base comparativa, el coeficiente de permeabilidad, se expresa refiriéndolo a una temperatura de  $20^\circ\text{C}$ . Si se conoce el valor de  $k_t$  a cualquier temperatura  $T$ , su valor  $k_{20}$  a  $20^\circ\text{C}$  se puede obtener como sigue:

$$K_{20} = \frac{u_2}{u_{20}} k_t \quad (II.4)$$

en donde:

$k_{20}$  = coeficiente de permeabilidad a  $20^\circ\text{C}$

VISCOSIDADES DEL AGUA DE 10° A 30°C  
Y RELACIONES

BRADIS	$\mu_T$	$\frac{\mu_T}{\mu_{30}}$
10.0	1.301	1.301
11.0	1.271	1.265
12.0	1.236	1.230
13.0	1.203	1.197
14.0	1.171	1.165
15.0	1.140	1.135
16.0	1.111	1.105
17.0	1.083	1.077
18.0	1.056	1.051
19.0	1.030	1.025
20.0	1.005	1.000
20.2	1.000	0.995
21.0	0.981	0.976
22.0	0.958	0.953
23.0	0.936	0.931
24.0	0.914	0.909
25.0	0.894	0.889
26.0	0.874	0.869
27.0	0.854	0.850
28.0	0.836	0.832
29.0	0.818	0.814
30.0	0.801	0.797

$\mu_T$  = VISCOSIDAD DEL AGUA A T°C

$\mu_{30}$  = VISCOSIDAD DEL AGUA A 30°C

TABLA II 1

$k_t$  = coeficiente de permeabilidad a  $t^{\circ}\text{C}$

$\mu_t$  = viscosidad del agua a la temperatura  $t^{\circ}\text{C}$

$\mu_{20} = " = " = " = " = " = 20^{\circ}\text{C}$

Los valores de  $\mu_t/\mu_{20}$  para diferentes temperaturas, aparecen tabulados en la tabla II.1

### II.2 Determinación del coeficiente de permeabilidad.

Los procedimientos empleados en el laboratorio, para determinar el coeficiente de permeabilidad, pueden ser directos e indirectos.

#### a) Directos

1. - Permedímetro de carga constante
2. - Permedímetro de carga variable

#### b) Indirectos

1. - De la curva graniométrica
2. - De la prueba de consolidación
3. - De la prueba horizontal de capilaridad

### II.3 Permedímetro de carga constante

Este dispositivo permite el estudio de suelos, relativamente permeables, tales como gravas, arenas y yescas de ambos; los coeficientes de permeabilidad en estos suelos varían de  $10^{-2}$  a  $10^{-3}$  cm/seg.

En suelos poco permeables, el tiempo de ensayo se hace tan largo, que la prueba deja de ser práctica, al originarse pérdidas de agua - por evaporación que afectan los resultados.

La prueba se efectúa sobre una muestra de suelo con área transversal A, y de longitud L, confinada en un tubo que generalmente es de lucita.

La probeta de suelo puede ser inalterada o compactada, buscando -- obtener la relación vacíos y el contenido de agua que se tiene o tendrá en el sitio donde se utilizará el suelo en estudio. Es necesario - evitaz que se filtre el agua en la junta del permeímetro con el suelo.

El espécimen de suelo se somete a una carga hidrostática h, constante durante toda la prueba; cuando se establece el régimen de flujo, - se procede a medir el volumen de agua, que pasa a través del suelo en un tiempo t.

El coeficiente de permeabilidad se obtiene aplicando la ley de Darcy:

$$Q = hA = \frac{V}{t} \quad I = \frac{h}{L}$$

$$k = \frac{V L}{h A t} \quad \text{SL-9}$$

en donde:

$k$  = coeficiente de permeabilidad

$v$  = volumen de agua medida

$L$  = longitud de la probeta

$b$  = carga bajo la cual se produce la filtración

$A$  = área de la sección transversal del espécimen

$t$  = tiempo en el que se efectuó la prueba

El valor del coeficiente de permeabilidad a la temperatura de 20°C se obtiene con la expresión (II. 4)

Para obtener la relación de vacíos con la que se compactó el material se hace uso de la expresión:

$$e = \frac{V_{Ss} - W_s}{W_s} \quad (II. 6)$$

en donde :

$e$  = relación de vacíos

$V$  = volumen de la muestra

$Ss$  = peso específico de sólidos

$W_s$  = Peso de sólidos

Durante el desarrollo de la prueba, se pueden cometer errores tales como mala compactación de la probeta, incompleta saturación del sustrato vac., que con cuidado y atención se logran evitar.

#### II. 4 Permeímetro de carga variable.

Se utiliza para determinar el coeficiente de permeabilidad de suelos poco permeables tales como arcillas y mezclas de arena, limo y arcilla, cuyo coeficiente varía de  $10^{-1}$  a  $10^{-9}$  cm/seg.

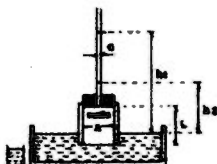
Para suelos menos permeables, los tiempos de prueba, resultan tan prolongados que la evaporación y las variaciones de temperatura durante el ensayo, produce errores importantes, y es necesario usar un dispositivo disyunto.

El aparato usado es semejante al de carga constante (con menor diámetro de muestra) y al cuál se le agrega una capa provista de un conducto por donde se alimenta de agua al suelo, y un tubo de vidrio de diámetro igual o menor a 0.5 cm. que permite medir los volúmenes de agua filtrada, así como las cargas hidráulicas que actúan sobre la prueba.

La prueba se realiza en una muestra de suelo (de área A y longitud L) colocada dentro del permeímetro generalmente de lucita. La muestra de suelo puede ser inalterada o compactada con la relación de vacíos del sitio en escrito. El agua no debe tener mayor facilidad de paso en la junta entre suelo y permeímetro.

El agua contiene aire y gases que se adhieren al suelo y afectan la permeabilidad al disminuir los vacíos, por lo que es necesario contar con un sistema para desgasificar agua tal que permita tener una cantidad suficiente de ella.

Para realizar la prueba se llena de agua desgasificada el tubo vertical del permeámetro (pielzómetro) y bajo la carga originada, se permite que escurre el agua a través del suelo saturando la muestra, se repite el proceso hasta establecer un régimen de flujo, y una vez logrado ésto, se realiza el ensayo midiendo el tiempo que tarda el agua en bajar de una a otra de las marcas fijadas en el piezómetro, cuya altura con respecto a la salida libre del agua se conoce figura II.2.



Ejemplo del permeámetro de carga variable

FIGURA II.2

Seas:

$L$  = longitud del espécimen de prueba

$a$  = área del tubo vertical de carga (pielzómetro)

$A$  = área de la probeta

$b_1$  = carga hidráulica al tiempo  $t_1$

$b_2$  = " " " " " "  $b_2$

$t$  = tiempo requerido para que la carga hidráulica pase de  $b_1$  a  $b_2$  =  $t_2 - t_1$

En el tiempo  $\Delta t$  la cantidad de agua que atraviesa la muestra será:

$$dv = kA \Delta h = \frac{kAh}{L} dt \quad (II.7)$$

Durante el tiempo  $dt$ , el agua habrá caído en el tubo vertical un descenso  $dh$ . El volumen que atravesó la muestra en el tiempo  $dt$  será:

$$dv = a dh \quad (II.8)$$

Igualando (II.7) y (II.8)

$$\frac{kAh}{L} dt = - a dh \quad (dh es negativo porque h disminuye al aumentar t)$$

$$\frac{kA}{L} dt = - \frac{a}{h} dh$$

Para los límites  $t_1$   $b_1$ ;  $t_2$   $b_2$

$$\int_{t_1}^{t_2} \frac{kA}{L} dt = - \int_{b_1}^{b_2} \frac{a}{h} dh$$

$$\frac{KAt}{L} = a \ln \frac{b_1}{b_2}$$

despejando k

$$k = \frac{aL}{At} \ln \frac{b_1}{b_2}$$

convirtiendo a logaritmos de base 10

$$k = 2.3 \frac{\ln}{At} \log \frac{b_1}{b_2} \quad (II.9)$$

La expresión (II.9) se utiliza para calcular la permeabilidad en un permeímetro de carga variable.

El valor del coeficiente de permeabilidad a 20°C se obtiene con la expresión (II.4)

La relación de vacíos se obtiene con la expresión (II.6)

Durante el desarrollo de la prueba, se pueden cometer errores tales como mala compactación de la probeta, incorrecta saturación de suelo, que pasa agua entre suelo y permeímetro etc. El cuidado y la atención que se tenga en la prueba ayudarán a evitar errores.

#### Métodos indirectos

##### II.5 De la curva granulométrica.

La determinación del coeficiente de permeabilidad a partir de la curva granulométrica, se realiza utilizando la relación empírica de --

Hazen u otras semejantes.

La expresión de Hazen es la siguiente:

$$k = C D_{10}^{-2} \quad (I.10)$$

en donde:

$k$  = coeficiente de permeabilidad en cm/seg.

$C$  = coeficiente experimental

$D_{10}$  = diámetro efectivo en cm: tamaño de la malla que permite pasar el 10% de la muestra de suelo con respecto al total de ella.

El experimento de Hazen se realizó en arenas uniformes con diámetro efectivo comprendido entre 0.01 y 0.3 cm y en donde  $c$  varió entre 41 y 146. Esta variación excesiva de  $c$ , hace que la relación sea poco confiable y como consecuencia de resultados poco precisos; por otro lado no toma en cuenta otros factores como temperatura, - relación de vacíos etc.

Otra relación semejante es la de Schichter

$$k = 771 \frac{D_{10}^{-2}}{C_s} (0.7 + 0.03 t) \quad (I.11)$$

en donde:

$k$  = coeficiente de permeabilidad en cm/seg

$D_{10}$  = diámetro efectivo

$C_s$  = valor que depende de la porosidad s  
 $t$  = temperatura

Terzaghi dà para suelos arenosos la expresión:

$$k = C_1 D_{10}^2 (0.7 + 0.03 t) \quad (II. 12)$$

$$C_1 = C_0 \left( \frac{s - 0.18}{3\sqrt{1-s}} \right)^2$$

a donde:

$k$  = coeficiente de permeabilidad cm/seg

$D_{10}$  = diámetro efectivo

$s$  = porosidad

$t$  = temperatura

$C_0$  = valor experimental

#### II. 6 De la prueba de consolidación

El cálculo a partir de la prueba de consolidación, se mencionará en el capítulo correspondiente a esta prueba.

#### II. 7 De la prueba horizontal de capilaridad

Esta prueba es útil para obtener resultados rápidos en el campo en materiales arenosos, limosos y mezclas de ambos. Debido a las fuerzas capilares, el agua que penetra en un suelo seco, avanza con cierta velocidad y en función de ésta, se puede determinar la perme

bilidad del suelo.

La muestra de suelo de área A y longitud L, se confina en un tubo - de lucite al que se le coloca una escala. El tubo debe poder girar - sobre su eje figura II.3

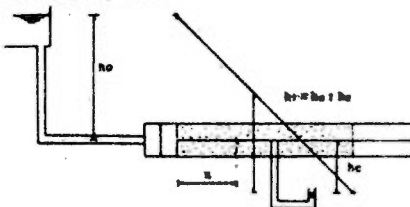


FIGURA II.3

La probeta de suelo se compacta hasta obtener la relación de vacíos que se tendrá en el sitio de estudio. El permeímetro se coloca en posición horizontal y se conecta al dispositivo de abastecimiento de agua, la carga inicial  $h_0$  debe ser pequeña para aumentarse poste - riormente a  $h_0^1$ .

El cero en la escala del permeímetro debe coincidir con el inicio - de la probeta; los tiempos se miden cada centímetro de avance del - agua. Cuando el agua avanza la mitad de la longitud de la muestra - se aumenta la carga de presión  $h_0$  a  $h_0^1$ .

Durante el desarrollo de la prueba se rueda el permeímetro en una y otra direcciones, buscando en lo posible que el agua avance con frente vertical.

Se dibuja en papel aritmético, en las ordenadas los cuadrados de los avances del agua  $X^2$  y en las abscisas los tiempos  $t$  fig II. 4.

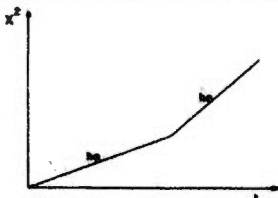


FIGURA II. 4

Uniendo los puntos se obtienen dos rectas de distinta pendiente las cuales corresponden a cada una de las cargas  $h_0$  y  $h_0^1$ .

De la velocidad real del flujo en el suelo II.3 y de la ley de Darcy

$$V_{ru} = k i$$

donde  $i$  es variable, ver figura II.3 se tiene:

$$\Rightarrow \frac{dx}{dt} = k \frac{h_0 + h_0^1}{x}$$

e integrando se obtiene

$$\Rightarrow \frac{x_2^2 - x_1^2}{x_2 - x_1} = \frac{1}{k} (h_0 + h_0^1) \quad (II.13)$$

Se definen dos puntos de cada una de las rectas y se aplica la relación (II.13)

$$n \frac{x_2^2 - x_1^2}{t_2 - t_1} = 2 k (h_0 + h_c)$$

y al cambiar  $h_0$  a  $h_0^1$

$$n \frac{x_4^2 - x_3^2}{t_4 - t_3} = 2 k (h_0^1 + h_c)$$

en donde:

$x^2$  = ordenadas de los puntos definidos, longitud recorrida por el agua

$t$  = abscisas de los mismos puntos, tiempo de recorrido entre los puntos definidos

$n$  = porosidad

$k$  = permeabilidad

$h_0$  = carga de agua inicial

$h_0^1$  = carga de agua final

$h_c$  = altura capilar

Se tienen entonces dos ecuaciones, una para cada carga, y dos incógnitas  $h_c$  y  $k$ . Resolviendo las ecuaciones simultáneas se obtienen los valores de  $k$  y  $h_c$ .

Permeímetro de carga constante

Muestra de suelo seco grueso 700 gr. aprox.

Se agrega agua para tener la muestra de suelo con el contenido de agua óptimo

En el permeímetro se apisona el material hasta lograr la relación de vacíos que se requiere.

Se pasa el permeímetro con la muestra de suelo

Se mide la altura de la muestra

Se extrae por capilaridad

Se llena el permeímetro hasta que desborde

Se conecta con el sistema de abastecimiento

Se determina la carga constante h

El agua fluye a través de la muestra hasta establecer el régimen.

Se mide el gasto

Se mide la temperatura T

Se repite la prueba hasta obtener resultados semejantes

Se determina  $K_p$ ,  $K_{20}$  y e

F I N

**Permeímetro de carga variable**



FALTA  
LA PAG.

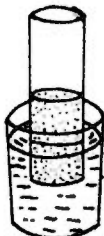
---

20

2.- El material alrededor de 700 gr. se coloca en capas, las cuales deben apisonarse uniformemente a fin de que la muestra quede compactada con la relación de vacíos y al contenido de agua que tiene o tendrá en la obra. La relación de vacíos obtenida se comprueba posteriormente.

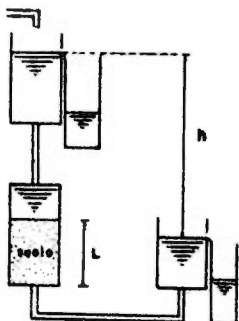


3.- Se pesa el pernosímetro con la muestra compactada y se anota en el registro, éste peso menos la tara representa el peso de la muestra con el contenido de agua utilizado en la compactación.



4.- Se mide  $L$ , longitud de la probeta. Se anota en el registro ( $L_{mínima} = 1.1$ ) y se sella por capilaridad.

5. - Se llena el permeímetro hasta que derrame. Se coloca en posición de prueba, y se conecta con el sistema de abastecimiento.



6. - Se mide la carga h constante - durante la prueba y se nota.
7. - Se permite que el agua fluya a través de la muestra a fin de establecer el régimen de flujo.
8. - Se mide  $V_w$ , volumen de agua - que sale de la prueba en un - tiempo t.
9. - Se repite el paso anterior has - ta obtener resultados constan - tes.
10. - Se mide la temperatura del - agua.

11.- Terminada la prueba, la muestra se coloca en el horno para después medir su peso seco.

## II

## II. 10 Cálculo

$$L = 5.30 \text{ cm} \quad A = 46.2 \text{ cm}^2$$

$$V_w = 50 \text{ cm}^3 \quad b = 10.6 \text{ cm}$$

$$t = 482 \text{ seg.}$$

1.- En el registro (Lámina II. I) se tienen anotados  $L$ ,  $V_w$ ,  $A$ ,  $b$  y  $t$  de los ensayos efectuados.

2.- El coeficiente de permeabilidad  $k$  se determina aplicando la ley de Darcy:

$$k = \frac{50 (5.30)}{46.2 (10.6) 482} = 0.001322 \text{ cm/seg} \quad k = \frac{Vwl}{Aht}$$

donde:

$Vw$  = volumen de agua medida

$L$  = longitud de la muestra

$A$  = área de la sección transversal de la muestra.

$b$  = carga bajo la cual se produce la filtración.

$t$  = tiempo en el que se efectuó la prueba y se midió  $Vw$ .

3.- El valor del coeficiente de permeabilidad a la temperatura de 20°C se obtiene con la expresión:

$$k_{20} = 0.001122 (1.03064) = 0.0011787$$

cm/seg.

$$k_{20} = k_t \frac{ut}{u_{20}}$$

dónde:

$k$  = coeficiente de permeabilidad

dad

$u$  = viscosidad del agua

4.- La relación de vacíos en la compactación se obtiene:

$$e = \frac{490.6(2.69) - 745.50}{745.50} = 0.77$$

$$e = \frac{VS_s - W_s}{W_s}$$

dónde:

$e$  = relación de vacíos

$S_s$  = peso específico de sólidos

$V$  = volumen de la muestra

$W_s$  = peso de sólidos

## II.11 Posibles errores

1.- compactación no uniforme de la probeta.



FACULTAD DE INGENIERIA  
LABORATORIO DE MECANICA DE SUELOS  
PERMEABILIDAD DE CARGA CONSTANTE

OBRA Alvear Queraltos.  
LOCALIZACION 20a-150.00 SONDEO N° 1  
MUESTRA N° 3 PROP 3.00- 2.50  
DESCRIPCION ARENA LIMPIA CARBONADA  
PERFILADO-V-150m PROFUNDIDAD 2.50-3.00m

## LAMINA II B

- 2.- Incompleta extracción del mate-rial.
- 3.- Lecuras mal tomadas
- 4.- Flujo de agua entre probeta y-permeímetro

## II. 12 Permeímetro de carga varia-ble

### II. 12.1 Equipo

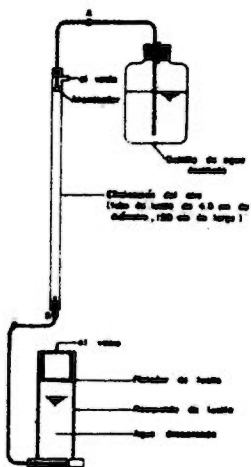


1.- Sistema para densificar agua

2.- Permeímetro de carga variable

3.- Cápsulas, compactador, memo-  
metro, balanza, cronómetro, -  
probeta graduada, sistema de  
vacío, piedras porosas, cuchi-  
llas, grasa y registro.

## II.13 Obtención del agua desaserrada



1. - Se aplica vacío a la columna de desaserrado y al recipiente de almacenamiento de agua.
2. - Se permite que el agua destilada fluya por el atomizador, colocado en el interior de la columna de desaserración.
3. - Cuando se tenga suficiente cantidad de agua en el recipiente de almacenamiento, se interrumpe el flujo de agua destilada y se suspende el vacío. Se desconecta el tubo de la base de la columna y se utiliza para extraer agua cuando sea necesario.

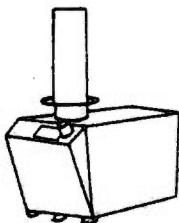
## II.14 Determinación del área de la sección transversal interior de la burea del permeímetro (plomímetro).



1. - Se vierte en la bureta una cantidad conocida de agua.
2. - Se mide la longitud del tubo que se llenó con ella.
3. - El área interior media ( $a$ ) se calcula dividiendo volumen entre longitud.

### II.15 Preparación del espécimen

#### a) Muestras inalteradas



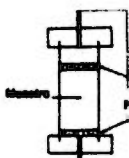
1. - Se mide el diámetro interior y se determina el área transversal  $A$  del permeímetro. Se pasa y se anotan los datos en el registro (Lámina II.2).
2. - En las paredes del permeímetro se coloca una capa delgada de grasa que sirve para cerrar el posible espacio entre suelo y cilindro.

3. - Se corta un trozo de material y se labra la probeta con cincelillo, de tal manera que, el diámetro del espécimen se ajuste al diámetro interior del permedímetro. La base y cabeza del espécimen deben ser paralelas.

4. - La longitud  $L$  de la probeta solo varía entre 0.5 y 2 cm. dependiendo de la permeabilidad del material.

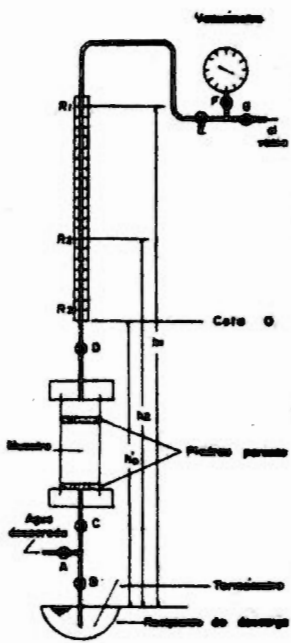
5. - Se pasa el material con el permedímetro y se anota (lámina II. 2).

6. - En la base y cabeza de la muestra se instala un disco poroso de permeabilidad mucho mayor que el material en estudio. La tapa se atornilla en el extremo abierto del tubo del permedíme-



tro.

- 7.- Se instala el permeímetro.
- 8.- Con la válvula B cerrada, se aplica vacío en G, en la parte superior de la bureta, permitiendo que el agua pase lentamente hacia D sumergiendo la muestra.
- 9.- Se cierra C y se abre B para que el agua fluya al recipiente inferior, hasta tener la seguridad de que el aire en el tubo, abajo de B fue expulsado.
- 10.- Se cierra B, se abre C y se permite que el nivel de agua suba en la bureta, hasta la parte superior de la escala - arriba de D. se cierra la válvula A y se deja de aplicar vacío a la bureta cerrando G. el extremo a la derecha de G se deja al aire libre.



- 11.- Se llena el recipiente de descarga hasta que derrame.
- 12.- Se mide la distancia  $h_0$ , de la cota de agua del recipiente - hasta la marca cero de la escala de la bureta.
- 13.- Se abre G y posteriormente - B, con lo que el agua fluye hacia abajo. Cuando el nivel de agua pase por la lectura  $R_1$  - en la escala, el cronómetro - se pone en marcha.
- 14.- Cuando el nivel de agua se - encuentra a la altura de las marcas  $R_2$ ,  $R_3$ ,  $R_4$  se registran los tiempos  $t_2$ ,  $t_3$ ,  $t_4$  y se anotan en la Tabla II.2
- 15.- Se cierra B antes que el agua descienda bajo el extremo inferior del tubo de carga (cota cero).

16.- Se permite que el agua desague hasta llenar la bureta nuevamente. Se repite la prueba desde el paso 9 hasta obtener mediciones semejantes.

17.- Se mide la temperatura del agua en el recipiente de descarga.

18.- Se coloca la muestra en el horno para su secado.

b) Muestras alteradas

1.- El suelo en estudio se seca al horno.

2.- Se mide el diámetro interior del pernosímetro y se obtiene su área transversal A, se pesa y se anotan los datos en la Memoria II.2

5. - Se atornilla el tubo del permeímetro a la base y se coloca un disco poroso dentro del tubo.

6. - Dentro del tubo el suelo se coloca en capas, las que se compactan en forma uniforme para lograr la relación de vacíos de seca. Si la finalidad de la prueba lo requiere el material puede colocarse con el contenido de agua óptimo y proporcionarle la misma energía que en la prueba estandar de compactación.

7. - Se obtiene la longitud L y el peso del permeímetro más el suelo, anotando los datos en la Memoria II.2

Si la probeta se preparó con

un determinado concesido de agua, éste se calcula al final de la prueba, después de obtener el peso seco de la muestra.

6.- En la cabecera del espécimen se instala un disco poroso. La maza se atornilla en el extremo abierto del tubo del permeímetro.

7.- Se instala el permeímetro

8.- Se siguen los pasos indicados en II.15.8 a 2.15.18 para las muestras homogeneas.

## II.16 Cálculo

$L = 3.0 \text{ cm}$ ;  $a = 0.312 \text{ cm}^2$ ;  $A=6.55 \text{ cm}^2$

- En el registro (Lám. II.2) se tienen anotados los datos del ensayo  $L, a, A, t, b_1, b_2$ .

2.- El coeficiente de permeabilidad se calcula con la fórmula:

$$k = 2.3 \frac{(3.0)(0.312)}{6.55(118)} \log \frac{30}{25}$$

$$k = 2.3 \frac{La}{At} \log \frac{b_1}{b_2}$$

$$k = 0.000169 \text{ cm/seg}$$

donde:

$L$  = longitud del espécimen en cm.

$A$  = área de la muestra en  $\text{cm}^2$ .

$a$  = área de la bureta en  $\text{cm}^2$

$b_1$  = carga inicial de la prueba

$b_2$  = carga final de la prueba

$t$  = tiempo para que la carga hidráulica pase de  $b_1$  a  $b_2$

3.- El valor del coeficiente de permeabilidad a la temperatura de  $20^\circ\text{C}$  se obtiene con la expresión:

$$k_{20} = 0.000169 \cdot (1.0) = 0.000169$$

$$k_{20} = k t \frac{dt}{u_{20}}$$

Donde:

$k$  = permeabilidad del suelo

$u$  = viscosidad del agua

4.- La relación de vacíos se obtiene

as:

$$\epsilon = \frac{25.65 (2.50) - 32.0}{32.0} = 1.004$$

$$\epsilon = \frac{V S_a - W_a}{W_a}$$

Donde:

$\epsilon$  = relación de vacíos

$V$  = volumen de la muestra

$S_a$  = peso específico de sólidos

$W_a$  = peso de sólidos

## II.17 Posibles errores

1.- Sistema de desecado defectuoso

so

2.- Compactación no uniforme de la probeta

3.- Huescos entre suelo y permeímetro

4.- No haberse establecido el flujo

en el interior de la muestra.

5 - Malas medidas

## FACULTAD DE INGENIERIA

38

## LABORATORIO DE MECANICA DE SUELOS

## PERMEABILIDAD DE CARGA VARIABLE

OBRA Rio Grande La Calera  
 LOCALIZACION km 30.00 BONDEO No. 1  
 MUESTRA No 2 PROF 1.50  
 DESCRIPCION Astilla lignocarencosa café.  
 FECHA 5-III- OPERADOR. LIMESCALDOLO ALVAREZ

## DATOS DE ENSAYE

Diametro de la muestra d =	<u>1.30</u> cm	Tensión o. líquido =	<u>90.00</u> g/cm <sup>2</sup>
Largo de la muestra L =	<u>3.00</u> cm	Tensión o. seco =	<u>92.00</u> g/cm <sup>2</sup>
Ancho de la muestra A =	<u>0.15</u> cm	Peso de Tierra =	<u>60.00</u> g/cm <sup>2</sup>
Volumen de la muestra V =	<u>25.45</u> cm <sup>3</sup>	Peso del agua W <sub>a</sub> =	<u>6.00</u> g/cm <sup>3</sup>
Ancho del vaso de carga w =	<u>0.117</u> cm	Peso seco mero W <sub>s</sub> =	<u>39.00</u> g/cm <sup>2</sup>
Peso específico seco S <sub>s</sub> =	<u>2.50</u>	Coeficiente agua W =	<u>20.8</u> %

Temperatura °C en seg	Tiempo t en seg	h <sub>1</sub> en cm	h <sub>2</sub> en cm	h <sub>3</sub> en cm	100 h <sub>2</sub> en cm <sup>3</sup> /seg	K <sub>v</sub> en cm <sup>3</sup> /seg	K <sub>so</sub>
20.0	118	30	25	1.20	0.0792	1.69	1.69
	250	30	20	1.50	0.1761	1.77	1.77
	420	30	15	2.00	0.3010	1.81	1.81
20.2	120	30	25	1.20	0.0792	1.66	1.65
	260	30	20	1.50	0.1761	1.71	1.70
	430	30	15	2.00	0.3010	1.76	1.75
20.2	315	30	25	1.20	0.0792	1.73	1.72
	255	30	20	1.50	0.1761	1.74	1.73
	440	30	15	2.00	0.3010	1.72	1.71

$$\alpha = \frac{V_{f2} - V_1}{V_1}$$

$$K_v = \frac{V_{f2} - V_1}{A_1} \frac{L}{t}$$

$$\alpha = 1.004$$

$$K_{so} = \frac{K_v - K_1}{\alpha - 1}$$

## CAPITULO III

### PRUEBA DE CONSOLIDACION UNIDIMENSIONAL

#### III.1 Introducción

Un problema importante que se presenta al ingeniero civil cuando trabaja con suelos, es cuantificar la deformación que sufre, al ser sometidos a una carga, ya que la deformación aumenta con el tiempo, aún cuando la magnitud de la carga no varía.

El cambio de la deformación con el tiempo bajo un esfuerzo dado, no es una propiedad exclusiva de los suelos; se presenta en todos los materiales, pero en la mayoría de ellos, el tiempo durante el cual la deformación aumenta, es muy corto, o la variación muy pequeña; así en los suelos donde ambas magnitudes, el tramo de la deformación y el tiempo que tarda en efectuarse, son importantes para el trabajo del ingeniero civil.

Las deformaciones del agua y de las partículas sólidas que constituyen el suelo, son muy pequeñas comparadas con las de la estructura formada por los sólidos, por lo que se pueden considerar incompresibles, y la deformación que sufre el suelo atribuirse únicamente a la modificación de su estructura.

Establecidas las hipótesis anteriores, el suelo saturado solo se de-

forma si se desaloja el agua de sus vacíos, y puede modificarse su estructura, la variación de la deformación, dependerá de la velocidad con la que el agua salga del suelo, factor que depende de la permeabilidad del material.

El proceso descrito se llama de consolidación, el cual se puede definir como la variación de volumen provocada por la carga aplicada al suelo y que tiene lugar en un lapso.

La carga aplicada a la masa de suelo produce esfuerzos, que varían de un punto a otro, por lo que resulta que el proceso de consolidación es función de:

- 1) La magnitud de los esfuerzos a que está sometido
- 2) La posición del punto analizado en la masa total del material
- 3) El tiempo
- 4) Las características del suelo, que permitirán la deformación de su estructura.

Si la carga aplicada se divide en dos partes, la que es soportada por la estructura del suelo (a la que se llama esfuerzo efectivo) y la que sostiene el agua (esfuerzo neutro), se puede establecer que en el momento en que se aplica una carga, el incremento de esfuerzo provocado por ella, es soportado inicialmente por el agua de los

poros (la presión neutra es igual al esfuerzo aplicado) y con el tiempo se traslada a la estructura sólida del suelo, haciéndose esfuerzo efectivo.

Este líquido deforma la estructura y disminuye el volumen del suelo, ya que el agua intersticial sujeta a una presión mayor, se drena hacia las fruteras permeables del estrato, por lo que se pueden disminuir los vacíos y la estructura deformarse.

En este fenómeno de deformación pueden distinguirse dos etapas:  
La consolidación primaria y la Secundaria.

La consolidación primaria la estudió Terzaghi y obtuvo un modelo matemático de ella. En ésta, la deformación del suelo se debe al flujo laminar del agua expulsada por el aumento de presión neutra y cuya velocidad de salida es directamente proporcional al gradiente hidráulico provocado por la carga.

Durante la consolidación secundaria, la deformación continúa más despacio que durante la consolidación primaria, y la variación del volumen se atribuye generalmente al deslizamiento progresivo entre las partículas más finas del material, que se reacomodan retrazando el fenómeno porque el agua de los vacíos, sumamente pequeñas, se desaloja con dificultad en un flujo viscoso, no newtoniano, no di-

rectamente proporcional al gradiente hidráulico.

Puede contribuir también en la deformación del material el flujo plástico de las partículas laminares constitutivas de los suelos arcilloso-s. Con el fin de cuantificar las deformaciones totales y determinar los tiempos de asentamiento, se realiza la prueba de consolidación - estándar; en ella bajo condiciones establecidas, se miden las deformaciones que sufre el suelo por efecto del monto de carga y con el tiempo. En esta prueba se establece la variación con el tiempo y - con el esfuerzo que soporta el grueso de una muestra de suelo, tal variación mostrará el efecto de ambas partes de la consolidación:

la primaria y la secundaria.

En este trabajo se estudiará exclusivamente la consolidación prima - ria.

### III.2 Descripción general de la prueba

La prueba estándar confina lateralmente el espécimen de suelo en - estudio por medio de un anillo de bronce y en sus caras superior e inferior con piedras porosas. La muestra se sujeta a una serie fija de cargas, midiendo la variación de las deformaciones con el - tiempo que produce cada carga.

Las piedras porosas son circulares y de diámetro ligeramente mayor

que el anillo. El conjunto de espécimen y piedras porosas se coloca dentro de una cazuela que se roda de agua a fin de evitar tensiones superficiales que perjudiquen el ensayo.

La prueba puede hacerse en dos formas:

- A) Con el anillo de bronce flotante (la prueba más usada). El dispositivo que se usa en este caso se llama consolidómetro de anillo flotante.
- B) Con el anillo fijo: en ésta prueba se puede realizar la de permeabilidad simultáneamente con la consolidación.

Antes de iniciar el ensayo se determina la compresibilidad del equipo las cargas que van a actuar sobre el espécimen de suelo.

Colocada la muestra con el anillo y las piedras porosas en el consolidómetro se sujetan a la primera carga de una sucesión de 7 cargas fijadas por especificación.

Para que la fuerza aplicada a la muestra se reparta de manera uniforme en el área total, se utiliza una placa metálica, a través de la cual se aplica la carga, y a fin de tener cargas normales, sobre la placa se coloca una esfera, también metálica; ésta última se pone en contacto con el marco del dispositivo de consolidación que proporciona la fuerza con que se hace el ensayo. Esta fuerza expulsa el

agua del espécimen saturado y orientado tal y como estará en el sitio de estudio.

Al salir el agua se disminuye la altura de la muestra, la variación se mide con un micrómetro, colocado sobre el marco de fuerzas.

Los incrementos de carga en la prueba de consolidación estándar, duplican la presión actuante sobre ella, cada vez que se incrementan. Esta norma tiene por objeto poder comparar los resultados de un ensayo con los de otro. La serie de cargas se puede modificar de acuerdo a la naturaleza del problema por resolver.

Generalmente las presiones utilizadas son 0.25, 0.5, 1.0, 2.0, 4.0, 8.0 y 16.0 kg/cm<sup>2</sup>. En cada incremento de carga aplicado se miden las deformaciones que sufre la muestra utilizando intervalos de tiempo fijados también por la norma que se siga. La frecuencia usual es 5, 10, 15, 30 seg., 1, 2, 4, 8, 15, 30 min., 1, 2, 4, 8 hrs.

Los datos de estas lecturas se dibujan en la llamada CURVA DE CONSOLIDACION: en las abcisas en escala logarítmica, los valores de los tiempos transcurridos y en las ordenadas en escala aritmética las lecturas del micrómetro.

La lectura de las deformaciones se suspende después de que la relación deformación - logaritmo del tiempo se ha hecho lineal fig. III.1

da bien establecida la parte recta y el flujo de agua ya no se - ce por efecto del exceso de presión hidrostática.

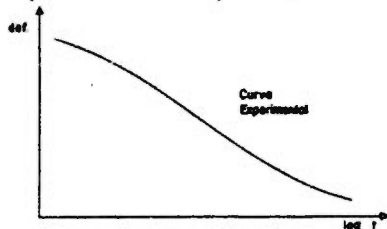


FIGURA III . I

yo durante el cual se continua la prueba siendo lineal la rela - t deformación - logaritmo del tiempo, varía dependiendo de la - tancia que tengan las deformaciones, en este caso debidas ya - llamada consolidación secundaria. A medida que la pendiente - recta sea mayor, la importancia de la consolidación secunda - mente.

curvas de consolidación se obtienen una para cada incremen - to aplicado.

er que el suelo bajo un incremento de carga tiene deformacio - nesales con respecto al logaritmo del tiempo, se aumenta la -- aplicada y se inicia un nuevo ciclo de deformación hasta que

se define la curva de consolidación.

Cuando se ha completado el ciclo de cargas dado por la norma que -  
se siga, se descarga la probeta en forma inversa a como se hizo -  
la carga. El tiempo entre dos decrementos, suele ser más corto -  
que el empleado entre dos incrementos, ya que la expansión es me -  
nor y el fenómeno se estabiliza con mayor rapidez.

Al terminar el efecto de una carga, la relación de vacíos de la --  
muestra llega a un valor menor que el inicial, y se calcula a partir  
de los datos iniciales de la muestra y las lecturas del micrómetro -  
que miden la deformación.

Cada incremento de carga aplicado origina una curva de consolida - -  
ción y con la deformación definida en ella se obtiene el valor de la  
relación de vacíos ej que produjo la presión  $P_j$  actuante sobre el es -  
pécimen. La presión  $P_j$  es efectiva dado que la presión neutra se asu  
yo.

Terminados todos los incrementos de carga, se tienen los valores de  
 $P_j$  y ej para cada uno de ellos y se dibujan en la llamada CURVA DE  
COMPRESIBILIDAD, usando en las abscisas los valores de la presión  
actuante  $P_j$  en escala logarítmica y en las ordenadas las correspon -  
dientes relaciones de vacíos ej en escala aritmética fig. III.2

La curva de compresibilidad proporciona las características de deformabilidad del suelo para cada carga efectiva dada.

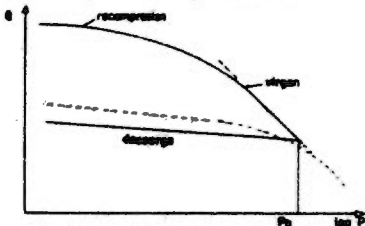


FIGURA III.2

En la curva de compresibilidad se distinguen tramos sucesivos bien definidos ver fig. III.2. El tramo de menor pendiente se llama de recompresión, y se une al siguiente tramo llamado virgen con el que se llega al final de las etapas de carga de la prueba.

Al someter al espécimen a una etapa contraria a la de carga se tiene una recuperación de la prueba que define el tramo de descarga. Experimentalmente se encuentra que la región de mayor curvatura, entre la recompresión y la curva virgen ( $P_p$  en la fig.), contiene la máxima carga a que ha estado sujeto el suelo en cualquier tiempo de su historia, ésta carga es la denominada de preconsolidación. En el ejemplo dado al final de la descripción de la prueba, se muestra una curva de consolidación (fig. III.3), la de compresibilidad

tón. III. 3 , y se señala la carga de preconsolidación.

III. 3 De la prueba de consolidación se obtienen:

- coeficiente de consolidación
- coeficiente de compresibilidad
- carga de preconsolidación
- coeficiente de consolidación

El modelo matemático del proceso de consolidación primaria obtenido por Terzaghi, define la variación del incremento de carga que soporta el agua (exceso de presión hidrostática), es decir el esfuerzo neutro  $u$  con el tiempo.

En la misma teoría se define la variable llamada por cierto de consolidación media  $U_m = 1 - \frac{u}{u_i}$

Donde:

$u$  = esfuerzo neutro en cualquier tiempo durante el proceso de consolidación

$u_i$  = exceso hidrostático inicial igual al incremento de carga

y demuestra que  $U_m$  representa la deformación vertical que sufre un manto de suelo en el tiempo, para el cual se ha obtenido  $U_m$  en por cierto y ha sido provocada por una carga inicial  $u_i$ ; así

$$U_m = \frac{\delta}{\delta^*} 100 \quad (\text{III.1})$$

dónde:

$U_m$  = % de consolidación unidimensional, valor medio a lo alto del estrato  $2H$

$\delta$  = deformación que sufre el estrato de suelo de grueso  $2H$  en un tiempo  $t$ .

$\delta^*$  = deformación total que se produce al cargarse el suelo con un incremento de carga  $\Delta p$ .

El % de consolidación media a lo alto del estrato  $U_m$  se obtiene de la curva teórica de consolidación, desarrollada en la teoría de Terzaghi en la cual se define con un solo factor adimensional  $T$  las siguientes características del lejomeno:

- El tiempo  $t$
- El grueso del estrato en proceso de consolidación ( $H$  o  $H/2$ )
- Las características de deformación del material
- La carga total que soporta el masivo incluyendo su propio peso, - dado que  $C_v$  se determina para cada incremento de carga.

$$m = 1 - \sum_{n=0}^{\infty} \frac{8}{(2n+1)^2} \frac{H^2 t}{2} = \frac{(2n+1)^2 H^2 t}{4} \quad (\text{III.2})$$

$$T = \frac{C_v t}{H^2} \quad (\text{III.3})$$

donde:

$n$  = la serie de los números enteros positivos

$T_1 = 3.1416$

= la base de los números neperianos

$T$  = parámetro adimensional, función del tiempo, del grueso del manto y de las características del suelo.

$t$  = tiempo en el que se requiere el factor tiempo  $T$

$C_v$  = coeficiente de consolidación, representativo de las características de deformación con el tiempo del suelo y que es función de la carga inicial en el proceso de consolidación y de las propiedades físicas del material en estudio.

$H$  = altura o semialtura del manto en consolidación (semialtura cuando está drenado por ambos lados.)

La ecuación III.2 se representa en ejes semilogarítmicos como se muestra en la fig. III.3

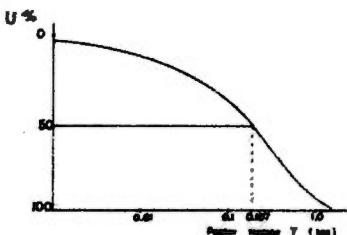


FIGURA III.3

El coeficiente de consolidación  $C_v$  se obtiene comparando la curva de consolidación experimental (en cada carga y por consiguiente  $C_v$  cambia con cada carga) con la curva teórica de Terzaghi para la consolidación primaria (ecuación III.2 o figura III.3). De la comparación geométrica de las dos curvas se tiene la equivalencia entre la deformación medida y el por ciento de consolidación; con lo que el eje de las ordenadas de la curva experimental se puede representar el por ciento de consolidación lo cual se hace en la forma siguiente:

La primera parte de la curva experimental deberá ser parábola como lo es en la teórica y por consiguiente  $U_1 = U_2 \sqrt{t_1/t_2}$  y si se toma una relación de tiempo  $t_1/t_2 = 4$   $U_1 = 2 U_2$  y conociendo la diferencia entre  $U_1$  y  $U_2$  se duplica ésta y se obtiene el 0% de consolidación. Para el 100% se aprovecha la forma de la curva teórica en -

la que la prolongación de la parte donde cambia la curvatura se encuentra con la asincota a la altura de la cota 100% y en la experimental se traza la prolongación de la parte donde se realiza el cambio de curvatura, hasta cortar la prolongación de la parte recta experimental. Con lo anterior queda fijado en el eje de las ordenadas los valores del % de consolidación.

El parámetro Cv se puede expresar como sigue:

$$C_v = \frac{T_1 Hm^2}{q}$$

si se toma el valor  $U_j = U_{50}$  en la teoría  $T_{50} = 0.197$  y

$$C_v = \frac{0.197 Hm^2}{t_{50}} \text{ cm}^2/\text{seg} \quad (\text{III.4})$$

Donde:

$Hm$  = longitud de la trayectoria de flujo de agua más corta en la prueba es igual al semigrueso de la muestra.

$t_{50}$  = tiempo en segundos corresponde al 50% de consolidación primaria para el incremento de carga considerado en la prueba y se obtiene utilizando, en el eje de las ordenadas la escala de % de consolidación = 50% y leyendo  $t_{50}$  y leyendo  $t_{50}$  en las abscisas 0.197 = el factor tiempo definido en la teoría de

Terzaghi para el 50% de consolidación ( $U_{50}$ )

b) Coeficiente de comprensibilidad

El coeficiente de compresibilidad  $\alpha_v$ , es numéricamente igual a la pendiente de la curva relación de vacíos - presión Fig. III.2, es decir:

$$B_V = - \frac{\Delta e}{\Delta p} = - \frac{e_2 - e_1}{p_2 - p_1} \text{ cm}^2/\text{kg} \quad (\text{III. 5})$$

Drucker

$\epsilon_1$  = relación de vacíos para la presión  $p_1$

$\sigma_2$  0.0 0.2 0.4 0.6 0.8 1.0  $P_2$

El coeficiente de compresibilidad, cambia para cada punto de la curva de compresibilidad, por consiguiente debe obtenerse para incrementos cortos de carga  $P$  y a partir de una carga  $P_0$  conocida. Esta es una de las razones por las que la prueba de consolidación se realiza con incrementos de carga sucesivos y duplicando la carga, ya que incrementos muy cortos no muestran el fenómeno y muy grandes producen una poligonal en la curva III.2.

c) La carta de preconsolidación se obtiene como sigue:

Es la curva de compresibilidad. entre las ramas de recompresión y virgen se toma el punto de máxima curvatura. Por dicho punto se traza una horizontal y una tangente a la curva. se obtiene la bisec-

triz del ésgulo formado por esas dos rectas. Se prolonga el tramo virgen hacia arriba hasta interceptar la bisectriz. Este punto de intersección tiene como abeuse la carga de preconsolidación. Esta construcción geométrica debida a casagrande, localiza la carga máxima que en su historia ha soportado el suelo fig. III.4

Durante el desarrollo de la prueba, se pueden presentar errores en la preparación de la muestra, en el procedimiento de prueba y en la aplicación de las hipótesis teóricas a los resultados de ensayo. La experiencia y una técnica adecuada en la realización de la prueba, permitirá evitar los errores y obtener resultados confiables.

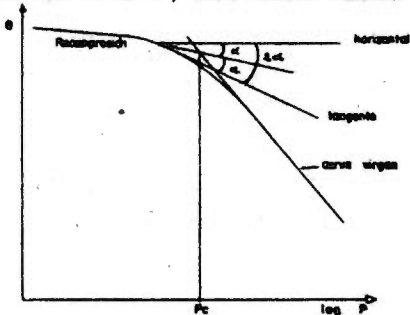


FIGURA III. 4

## I Calibración y compresibilidad del equipo

### Determinación de las cargas aplicadas al espécimen

Se coloca un dinamómetro (calibrado y provisto de micrómetro) entre el banco y el marco.

Se lee el micrómetro

Se aplica una carga conocida

Se lee el micrómetro ya aplicada la primera carga.

Se obtiene la deformación del dinamómetro con la diferencia de lecturas.

Con la curva de calibración se obtiene la fuerza aplicada en el marco.

La fuerza aplicada en el marco entre el peso colocado en el dispositivo, divide la relación de brazos del aparato.

Conociendo el área del asillo de consolidación se multiplica ésta por cada uno de los incrementos de presión que se requerirán.

Cada producto se divide entre la relación de brazos obteniendo así el peso que debe aplicarse en el dispositivo para obtener cada uno de los incrementos aludidos.

### Determinación de la compresibilidad del aparato

Se coloca la cazuela del consolidómetro en el banco de carga con las dos piedras rosas, placa de carga y balón, las que se usarán en la prueba.

Se coloca el micrómetro que debe quedar vertical.

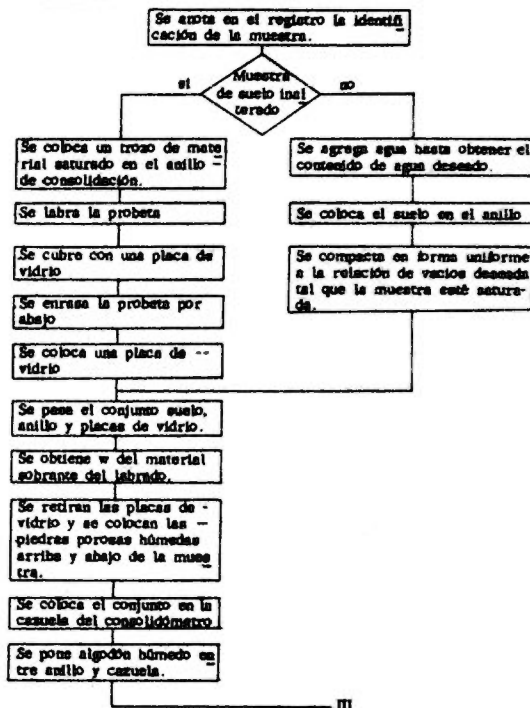
Se aplica la primera carga al dispositivo

Se mide la deformación indicada por la lectura del micrómetro y se anota.

Se repite la operación de cargar y leer la deformación con cada incremento de carga de la norma establecida.

Se dibuja una gráfica de lecturas de micrómetro (deformaciones) contra cargas aplicadas.

II Preparación de la probeta de suelo.



### III Montaje y realización de la prueba.

- Se coloca la carcasa del consolidador con la muestra y las placas provistas sobre la plataforma del banco de consolidación.
- Se sitúa la pieza de carga y el báscula sobre la muestra y sobre ésta.
- El conjunto se cesaña bajo el marco de CRIBB.
- Se instala el microfómetro en el centro del marco.
- Se aplica en el receptor de carga masa, temperatura y lectura inicial del microfómetro.
- Se coloca la primera carga evitando cualquier impacto.
- Se toman lecturas de microfómetro en intervalos de tiempo adecuados.
- Se dibuja la curva de consolidación y una vez finalizada la consolidación secundaria se toma la lectura del microfómetro.
- Se aplica el siguiente incremento de carga procediendo en forma similar a la indicada para el 1º.
- Se sigue con la siguiente carga si quedase la necesidad de la misma se triplicada.
- Se descarga la muestra en forma inversa a como se hizo la carga se da el valor de la última carga se reduce a la penúltima y así sucesivamente hasta tener prendida nula.
- Se quita el anillo con el suero del consolidador y se pasa con las placas de vidrio.
- Se coloca en el tornio para observar peso seco.

#### IV Cálculo

De cada curva de consolidación se obtiene el  $c_0$

Con  $c_0$  se determinan  $c_v$  para cada  $P_i$

Se ejecutan los cálculos indicados en el registro "consolidación de agua y cálculos" obteniendo  $w$ ,  $w_2$ ,  $H_2$ ,  $H_{w2}$ ,  $e_1$ ,  $e_2$ ,  $Gw_1$  y  $Gw_2$

En el registro de "resumen de datos y cálculos" se anotan los datos que se piden y se efectúan los cálculos ahí especificados hasta obtener  $p$  y  $e$

Se dibuja la curva de compresibilidad en trazo semilogarítmico con la relación de vacíos  $e_j$  correspondiente a cada presión  $p_j$  actuante.

Se anotan  $av$  y  $cv$  donde corresponda

Se determina en la curva de compresibilidad la carga de preconsolidación.

fin

### III.4 Equipo

1.- Aparato de consolidación que consta de:



- 1.1 Atillo que componerá el espécimen
- 1.2 Recipiente base
- 1.3 Dos piedras porosas
- 1.4 Micrómetro
- 1.5 Placa de carga
- 1.6 Balón
- 1.7 Juego de pesos
- 1.8 Banco de carga

2.- Equipo para labrado del espécimen.

- 2.1 Torno de labrado
- 2.2 Cuchillos especiales y espátulas
- 2.3 Cortador de alambre
- 2.4 Regla metálica

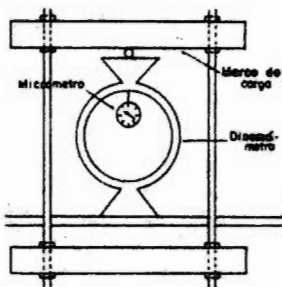
3.- Varios

- 3.1 Balanza de 800 gr.
- 3.2 Cromómetro
- 3.3 Cápsulas
- 3.4 Termómetro
- 3.5 Horno
- 3.6 Formas para la prueba.



### III.5 Procedimiento de prueba.

#### III.5.1 Determinación de las cargas aplicadas al espécimen durante la prueba.



1. - Se coloca un dinamómetro calibrado provisto de micrómetro entre el banco y el marco.
2. - Se toma lectura inicial del micrómetro: se aplica una carga conocida sobre el dispositivo y se lee nuevamente el micrómetro.
3. - La diferencia de lecturas da la deformación del dinamómetro; con este valor se encuentra en la curva de calibración la fuerza aplicada al marco.
4. - Se divide la fuerza aplicada en el marco entre el peso colocado en el dispositivo de carga. Este cociente es la relación de brazos del aparato.
5. - Conociendo el área del anillo de consolidación, se multiplica ésta por cada uno de los incrementos de presión que se requerirán, y cada producto se divide entre la relación de brazos, obteniendo así, el peso que debe aplicarse

en el dispositivo para obtener - cada uso de los incrementos.

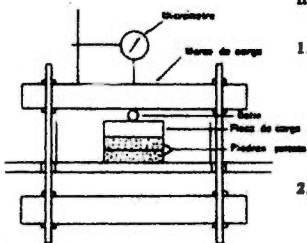
### III. 5.2 Determinación de la compresibilidad del equipo.

- 1.- Se coloca la cazuela del consolidómetro en el banco de carga, con las dos piedras porosas, placa de carga y balín. Se sujetan el micrómetro que debe quedar vertical.
- 2.- Se aplican cargas al dispositivo midiendo las deformaciones indicadas por las lecturas del micrómetro.
- 3.- La calibración debe abarcar todos los incrementos de carga utilizados así como la etapa de descarga.
- 4.- Se hacen tablas de lecturas de micrómetro y cargas aplicadas.

### III. 6 Preparación de la probeta de suelo.

#### a) Muestras inalteradas.

- 1.- Sobre el tornillo se coloca un trozo de material que tenga por lo menos el doble de espesor que el anillo de consolidación y de tamaño ligeramente mayor que el diámetro interior del anillo.





- Se coloca el asillo sobre la muestra y se labra la protesis con las espinas y coctilllos adecuados girando ligeramente el torso de labrado, y forzando ligeramente el asillo para que penetre en la muestra de yeso.
- Cuando se ha llenado completamente el asillo, y la muestra sobresale por lo menos 3 mm., se curva la cara superior de la protesis, cortando el material sobrante, esto puede hacerse con seguitos de sierra o con cuchillo, afilando con una regla metálica.
- Se corta la parte inferior con igual procedimiento y en segunda se curva la cara inferior de la protesis.
- Se coloca el material sobrante del labrado en una cápsula para determinar un contenido de humedad testigo



- 6.- Se anota en la lámina III.1 los datos de la muestra tales como: color, sondeo, muestra etc. y se hace una descripción del mue-  
lo en estudio; así como área y  
altura del asillo, su peso y el  
de las placas que se usan los  
cuales se han determinado pre-  
viamente.
- 7.- Se pone el conjunto suelo, asil-  
lio y placa metálica, apoyando el  
dato en el registro conocido de  
área y círculos (lámina III.1)
- 8.- Se retira la placa metálica y se  
colocan piedras porosas himen-  
das en las caras superior e in-  
ferior. Se coloca el conjunto  
en la cámara del consolidóme-  
etro, con la misma orientación  
del asillo en estudio.



9.- Se pone algodón húmedo en el espacio que queda entre el anillo y las paredes de la canuela del consolidómetro.

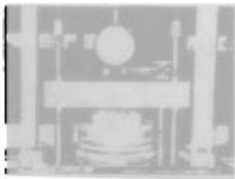
b) Muestras alteradas.

Si se dispone de una muestra compactada, obtenida por alguno de los métodos establecidos, se procede como si fuera inalterada en la forma antes descrita; en caso contrario, se compacta directamente el material en el anillo, colocándolo en 5 o 6 capas que se aplastan en forma uniforme, buscando reproducir la compactación que se tiene o tendrá en el campo.

Una vez obtenida la pastilla de suelo, se procede como se indicó en III.6.6 a III.6.9

**III.7 Montaje de la prueba**

1.- Se coloca la canuela sobre la plataforma del banco de consolidación. Se sitúa la pieza de carga y el balón sobre la piedra porosa superior.



- 2.- El conjunto se coloca bajo el marco de carga y se ajusta la elevación de éste.
- 3.- Se instala el micrómetro en el centro del ensayo.

### III.8 Realización de la prueba



- 1.- Se accede en el registro de carga (anexo III.2) la fecha, hora, temperatura y lectura inicial del micrómetro.
- 2.- Se coloca cuidadosamente la muestra para evitando cualquier impacto. Para muestra muy blanda, la carga puesta en el porta-pesas deberá aplicar una presión de  $0.1 \text{ kg/cm}^2$  o menor a fin de evitar que el suelo fluya entre las piezas porosas y el suelo. Para muestra dura la carga puede ser mayor. Después que la muestra se coloquie bajo el primer incremento de carga cada incremento excesivo será tal que la presión sobre la muestra se duplique.



3. - Se toman lecturas del micrómetro en intervalos de tiempo adecuados. Es usada la siguiente frecuencia: 5, 10, 15, 30 seg. · 1, - 2, 4, 8, 15, 30, 60, 120, 240 min. (ver Memoria III.2)
4. - Se dibuja la curva de consolidación (Memoria III.3), y una vez que en ésta se tienen deformaciones lineales con respecto al log de  $t$ , se anota la lectura final del micrómetro.
5. - Se aplica el siguiente incremento de carga procediendo en forma similar a la indicada para el primero.  
Generalmente el algaño se retira después de la consolidación bajo el segundo incremento de carga y la cañuelas se llena de agua a un nivel por encima de la parte superior del anillo.  
Se observa el micrómetro hasta que se estabilice y se anota el valor final.
6. - Se continúa con la secuencia de carga hasta llegar a la presión

máxima proyectada en función del uso futuro de los datos.

- 7.- Se descarga la pastilla en forma inversa a la carga es decir, la última carga aplicada, se reduce el valor de la penúltima y así sucesivamente hasta obtener una presión nula sobre la pastilla.
- 8.- El tiempo entre dos decrementos es más corto que el transcurrido entre dos incrementos, pues la expansión ocurre con mayor rapidez que la consolidación. Se permite que la muestra se expanda bajo presión nula, hasta alcanzar el equilibrio.
- 9.- Se quita el micrómetro, se desarma el consolidómetro, se pesa el anillo con el suelo y la placa metálica, anotando el dato en la Tabla III 1
- 10.- Se coloca la muestra en el horno para obtener su peso seco.



### III. 9 Cálculo de la prueba

Se ejecutan los cálculos indicados en el registro concernidos de humedad y cálculos (Lámina III. 1)

- 1.- Los contenidos de agua inicial y final  $w_1$  y  $w_2$  se obtienen:

$$w_1 = \frac{66.23}{20.81} \times 100 = 318\%$$

$$w_1 = \frac{ww_1}{w_3} \times 100$$

$$w_2 = \frac{27.84}{20.81} \times 100 = 134\%$$

$$w_2 = \frac{ww_2}{w_3} \times 100$$

donde:  $ww$  = peso del agua

$w_3$  = peso de sólidos

- 2.- Se tienen los datos del anillo -- altura inicial  $H_1$  y área A

$$H_1 = 15.0 \text{ mm} \quad A = 50 \text{ cm}^2$$

- 3.- Es necesario para los cálculos tener el peso específico de sólidos  $S_s$

$$S_s = 2.47$$

- 4.- Se obtiene la altura de sólidos  $H_s$  con la expresión:

$$H_s = \frac{10 (20.81)}{50 (2.47)} \approx 1.683 \text{ mm.}$$

$$H_s = \frac{10 Wa}{\Delta S_s}$$

donde: lo es el factor para convertir cm a mm.

Lectura inicial = 22.730

Lectura final = 14.979

$$\Delta H = 7.751 \text{ mm.}$$

- 5.- Se anota la variación en la altura de la muestra AH. Se obtiene de las lecturas anotadas en el registro de carga (Máginas III.2)

- 6.- Se obtiene la altura final  $H_2$

$$H_2 = 13.0 - 7.751 = 7.249 \text{ mm.}$$

$$H_2 = H_1 - \Delta H$$

- 7.- Se determinan las alturas del agua inicial  $H_{w1}$  y final  $H_{w2}$

$$H_{w1} = 3.18 \times 1.665 \times 2.47 = 13.235 \text{ mm}$$

$$H_{w1} = w_1 H_s S_a$$

$$H_{w2} = 1.34 \times 1.665 \times 2.47 = 5.577 \text{ mm}$$

$$H_{w2} = w_2 H_s S_a$$

- 8.- Las relaciones de vacíos inicial e1 y final e2 se obtienen:

$$e_1 = \frac{15.0 - 1.665}{1.665} = 7.902$$

$$e_1 = \frac{H_1 - H_2}{H_2}$$

$$e_2 = \frac{7.249 - 1.665}{1.665} = 3.301$$

$$e_2 = \frac{H_2 - H_1}{H_1}$$

- 9.- Los grados de saturación inicial  $Gw_1$  y final  $Gw_2$  se obtienen:

$$Gw_1 = \frac{13.235}{13.315} \times 100 = 99\%$$

$$Gw_1 = \frac{H_{w1}}{H_1 - H_2} \times 100$$

$$Gw_2 = \frac{5.577}{5.562} \times 100 = 100\%$$

$$Gw_2 = \frac{H_{w2}}{H_2 - H_1} \times 100$$

- 10.- En el registro resumen de datos y cálculos (Láminas III.4) - se anotan las presiones y las correspondientes lecturas del manómetro tomadas del registro de carga.

lectura inicial  $p = 0$

22.730

lectura sig.  $p = 0.125$

22.709

$$\delta' = 0.021$$

- 11.- La deformación  $\delta'$  se obtiene restando de la lectura inicial, las lecturas sucesivas.

- 12.- La deformación corregida  $\delta$  se obtiene así:

$$\delta = 0.021 - 0.002 = 0.019$$

$= \delta'$  - corrección por compresión

$$\frac{\delta}{H_0} = \frac{0.019}{1.605} = 0.011$$

- 13.- Se divide  $\delta/H_0$ , que representa la disminución de la relación de vectos al aplicar la presión

- 14.- Para obtener la relación de vectos correspondiente a cada presión, se resta a la oquedad inicial los valores obtenidos en la columna anterior.

$$e = 7.902 - 0.011 = 7.891$$

$$e = e_i - \delta/H_0$$

- 15.- La variación de contenidos de agua se obtienen:

$$w = \frac{7.902}{2.47} \times 0.994 = 318\%$$

$$w = \frac{e}{S_0} \times 100$$

16.- Se dibuja la curva de compresibilidad en trazo semilogarítmico (Lámina III. 5)

17.- El coeficiente de compresibilidad  $\alpha_v$  se calcula así:

$$\alpha_v = -\frac{7.891 - 7.902}{0.125 - 6} = 0.009 \text{ cm}^2/\text{kg}$$

$$\alpha_v = -\frac{\rho_2 - \rho_1}{P_2 - P_1}$$

18.- La columna  $H_m$  en cm, se obtiene teniendo en cuenta las condiciones de los drenes utilizados.

$$H_m = \frac{0.180 + 0.14979}{4} = 0.7495 \text{ cm}$$

$$H_m = \frac{H_{11} + H_{12}}{4}$$

donde  $H_{11}$  es la altura obtenida después de aplicar el primer incremento de carga.

$$H_m = \frac{0.14979 + 0.14877}{4} = 0.7464 \text{ cm}$$

$$H_m = \frac{H_{11} + H_{12}}{4}$$

donde  $H_{12}$  es la altura obtenida después de aplicar el segundo incremento de carga.

$$H_m^2 = 0.7495^2 = 0.5617 \text{ cm}^2$$

19.- Se elevan al cuadrado los  $H_m$

20.- En las curvas de consolidación (Lámina III.3) es posible obtener el cero por ciento teórico de consolidación como sigue: Se escoge un punto de la curva próximo al eje de deformaciones, se observa el tiempo  $t$  que le corresponde, y se localiza el punto correspondiente a un tiempo  $t_1/4$  y se determina la diferencia de ordenadas de los dos puntos. Este valor se duplica, obteniendo un tercer punto, por el cual se hace pasar una paralela al eje de los tiempos que define el 0% de consolidación. El 100% teórico de consolidación queda definido por la intersección del tramo recto de consolidación secundaria y de la tangente a la parte curva en su punto de inflexión. Al punto medio del segmento entre el 0 y el 100% teóricos de consolidación corresponderá al 50%. El tiempo correspondiente a ese porcentaje es el  $t_{50}$  y su determinación debe hacerse para cada una de las cur-

$$t_{50} = 37 \text{ seg.}$$

vas obtenidas en el proceso de consolidación.

21.- El coeficiente de consolidación se obtiene:

$$C_v = \frac{0.197}{0.3612} = 0.00087 \text{ cm}^2/\text{seg.} \quad C_v = \frac{0.197 \text{ Hm}^2}{t_{50}}$$

22.- La carga de preconsolidación se obtiene así:

En la curva de compresibilidad, se toma el punto de máxima curvatura de la zona de transición entre las ramas de recompresión y virgin. Por dicho punto se traza una horizontal y una tangente a la curva, se obtiene la bisectriz del ángulo formado por esas dos rectas. Se prolonga el tramo virgin hacia arriba hasta interceptar la bisectriz. Este punto de intersección tiene como abscisa la carga de preconsolidación.

$$P_c = 1.2 \text{ kg/cm}^2$$

### III. 10 Posibles errores

1.- La muestra no está orientada como en el sitio de estudio.

2. - Mal labrado de la probeta.
3. - Mal tomadas las lecturas de -  
tiempos o de micrómetro.
4. - Variación de la temperatura.
5. - Incorrecta medición de peso del  
especímenes.

FACULTAD DE INGENIERIA  
 LABORATORIO DE MECANICA DE SUELOS  
 CONSOLIDACION  
 CONTENIDOS DE AGUA Y CALCULO

OBRA ESTACIONE EXPERIMENTAL  
 LOCALIZACION 0+113.50 SONDEO N° 3  
 MUESTRA N° 6 PROF. 1.15 - 1.80 m  
 DESCRIPCION AVELLA suelo de alta plasticidad.  
 FECHA 2-1-78 OPERADOR Gómez CALCULO López.

DETERMINACION DE V <sub>T</sub>	AL PRINCIPIO DE LA PRUEBA	AL FINAL DE LA PRUEBA
ANILLO Y PESO N.	1	673
PESO TARA + SUELDO PRUEBA V <sub>T</sub>	340.99	39.11
PESO TARA + SUELDO NICO V <sub>T</sub>	274.76	29.30
PESO DEL AGUA	68.23	29.61
PESO TARA	262.99	19.90
PESO SUELDO NICO V <sub>T</sub>	20.81	9.10
CONTENIDO DE AGUA V <sub>T</sub> %	31.0	31.7
V % PESADO:	1.34	1.34

ANILLO N° 1 DIAMETRO DEL ANILLO 7.07 mm. AREA DEL ANILLO A<sub>N</sub> 50 mm<sup>2</sup>  
 ALTURA DEL ANILLO ALTAURA DE LA MUESTRA AL PRINCIPIO DE LA PRUEBA H<sub>P</sub> 15 mm



PESO ESPECIFICO RELATIVO DE MUESTRAS G <sub>R</sub>	<u>2.47</u>
ALTURA SOLIDA H <sub>S</sub> mm	<u>14.50</u>
H <sub>S</sub> / H <sub>P</sub>	<u>14.50 / 15.00</u>
VARIACION DE LA ALTURA DE LA MUESTRA AL PRINCIPIO	
AL FINAL DE LA PRUEBA	<u>7.761</u>
ALTURA FINAL DE LA MUESTRA	<u>15.0 - 7.761 = 7.239</u>
ALTURA SOLIDA DEL AGUA	<u>15.0 - 14.50 = 0.50</u>
ALTURA FINAL DEL AGUA	<u>15.0 - 15.00 = 0.00</u>
RELACION DE PESOS INICIAL	<u>15.0 - 14.50 = 0.50</u>
RELACION DE VACIOS INICIAL	<u>15.0 - 14.50 = 0.50</u>
GRADO DE SATURACION INICIAL	<u>(0.50 / 15.0) * 100 = 3.33%</u>
GRADO DE SATURACION FINAL	<u>(0.00 / 15.0) * 100 = 0.00%</u>

LAMINA III

FACULTAD DE INGENIERIA  
LABORATORIO DE MECANICA DE SUELOS  
CONSOLIDACION  
ADMISION DE CARRERA

70

OBRA ESTACION SISTEMA  
LOCALIZACION CONO 10 SONDEO No. 1  
NUSTRO N° 6 PROF. 3.15 - 1.00  
DESCRIPCION arena caliza de alta plasticidad  
FECHA 3-1-76 OPERADOR GRANDE CALIDAD A.F.D.E.

LAMMING III

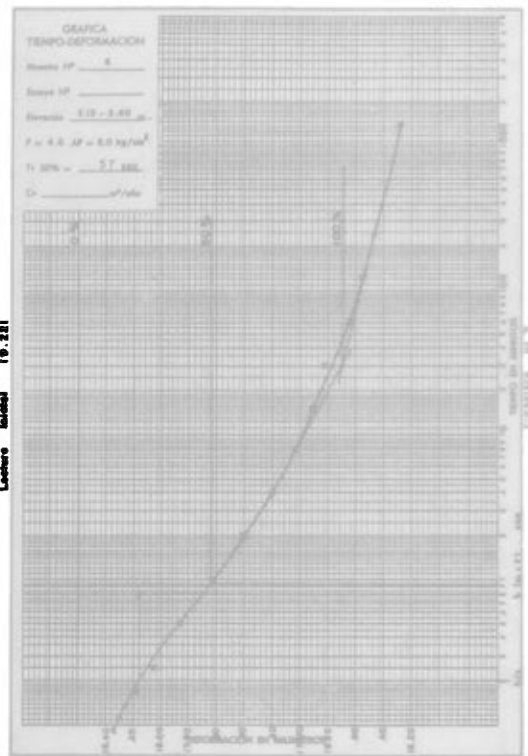
FACULTAD DE INGENIERIA  
 LABORATORIO DE MECANICA DE SUELOS  
 CONSOLIDACION  
 REGISTRO DE CARGA

77



OBRAS Estrecho de Tres Puntas.  
 LOCALIZACION 0+115.50 SONDEO No. 3  
 MUESTRA No. 6 PROF 1.25 - 1.50 m  
 DESCRIPCION arena blanca con alta plasticidad.  
 FECHA 5-7-76 OPERADOR Gómez CALCULOS Aldunate

FECHA	TIPO	VEZ	CARGA	TIPO CARGA	VEZ	MEDIA CARGA	TIPO CARGA	VEZ	MEDIA CARGA
	da. m.	%	kg.	da. m.	%	kg.	da. m.	%	kg.
0/7/76	9100	10.0	545	0	27.625				
				0.01	27.625				
				0.2	27.625				
				0.4	27.625				
				0.6	27.625				
				0.8	27.625				
				1.0	27.625				
				1.2	27.625				
				1.4	27.625				
				1.6	27.625				
				1.8	27.625				
				2.0	27.625				
				2.2	27.625				
				2.4	27.625				
				2.6	27.625				
				2.8	27.625				
				3.0	27.625				
				3.2	27.625				
				3.4	27.625				
				3.6	27.625				
				3.8	27.625				
				4.0	27.625				
				4.2	27.625				
				4.4	27.625				
				4.6	27.625				
				4.8	27.625				
				5.0	27.625				
				5.2	27.625				
				5.4	27.625				
				5.6	27.625				
				5.8	27.625				
				6.0	27.625				
				6.2	27.625				
				6.4	27.625				
				6.6	27.625				
				6.8	27.625				
				7.0	27.625				
				7.2	27.625				
				7.4	27.625				
				7.6	27.625				
				7.8	27.625				
				8.0	27.625				
				8.2	27.625				
				8.4	27.625				
				8.6	27.625				
				8.8	27.625				
				9.0	27.625				
				9.2	27.625				
				9.4	27.625				
				9.6	27.625				
				9.8	27.625				
				10.0	27.625				
				10.2	27.625				
				10.4	27.625				
				10.6	27.625				
				10.8	27.625				
				11.0	27.625				
				11.2	27.625				
				11.4	27.625				
				11.6	27.625				
				11.8	27.625				
				12.0	27.625				
				12.2	27.625				
				12.4	27.625				
				12.6	27.625				
				12.8	27.625				
				13.0	27.625				
				13.2	27.625				
				13.4	27.625				
				13.6	27.625				
				13.8	27.625				
				14.0	27.625				
				14.2	27.625				
				14.4	27.625				
				14.6	27.625				
				14.8	27.625				
				15.0	27.625				
				15.2	27.625				
				15.4	27.625				
				15.6	27.625				
				15.8	27.625				
				16.0	27.625				
				16.2	27.625				
				16.4	27.625				
				16.6	27.625				
				16.8	27.625				
				17.0	27.625				
				17.2	27.625				
				17.4	27.625				
				17.6	27.625				
				17.8	27.625				
				18.0	27.625				
				18.2	27.625				
				18.4	27.625				
				18.6	27.625				
				18.8	27.625				
				19.0	27.625				
				19.2	27.625				
				19.4	27.625				
				19.6	27.625				
				19.8	27.625				
				20.0	27.625				
				20.2	27.625				
				20.4	27.625				
				20.6	27.625				
				20.8	27.625				
				21.0	27.625				
				21.2	27.625				
				21.4	27.625				
				21.6	27.625				
				21.8	27.625				
				22.0	27.625				
				22.2	27.625				
				22.4	27.625				
				22.6	27.625				
				22.8	27.625				
				23.0	27.625				
				23.2	27.625				
				23.4	27.625				
				23.6	27.625				
				23.8	27.625				
				24.0	27.625				
				24.2	27.625				
				24.4	27.625				
				24.6	27.625				
				24.8	27.625				
				25.0	27.625				
				25.2	27.625				
				25.4	27.625				
				25.6	27.625				
				25.8	27.625				
				26.0	27.625				
				26.2	27.625				
				26.4	27.625				
				26.6	27.625				
				26.8	27.625				
				27.0	27.625				
				27.2	27.625				
				27.4	27.625				
				27.6	27.625				
				27.8	27.625				
				28.0	27.625				
				28.2	27.625				
				28.4	27.625				
				28.6	27.625				
				28.8	27.625				
				29.0	27.625				
				29.2	27.625				
				29.4	27.625				
				29.6	27.625				
				29.8	27.625				
				30.0	27.625				
				30.2	27.625				
				30.4	27.625				
				30.6	27.625				
				30.8	27.625				
				31.0	27.625				
				31.2	27.625				
				31.4	27.625				
				31.6	27.625				
				31.8	27.625				
				32.0	27.625				
				32.2	27.625				
				32.4	27.625				
				32.6	27.625				
				32.8	27.625				
				33.0	27.625				
				33.2	27.625				
				33.4	27.625				
				33.6	27.625				
				33.8	27.625				
				34.0	27.625				
				34.2	27.625				
				34.4	27.625				
				34.6	27.625				
				34.8	27.625				
				35.0	27.625				
				35.2	27.625				
				35.4	27.625				
				35.6	27.625				
				35.8	27.625				
				36.0	27.625				
				36.2	27.625				
				36.4	27.625				
				36.6	27.625				
				36.8	27.625				
				37.0	27.625				
				37.2	27.625				
				37.4	27.625				
				37.6	27.625				
				37.8	27.625				
				38.0	27.625				
				38.2	27.625				
				38.4	27.625				
				38.6	27.625				
				38.8	27.625				
				39.0	27.625				
				39.2	27.625				
				39.4	27.625				
				39.6	27.625				
				39.8	27.625				
				40.0	27.625				
				40.2	27.625				
				40.4	27.625				
				40.6	27.625				
				40.8	27.625				
				41.0	27.625				
				41.2					



FACULTAD DE INGENIERIA  
LABORATORIO DE MECANICA DE SUELOS  
CONSOLIDACION  
RECOPILACION DE DATOS Y CALCULOS

DIRA ENRIQUE TORRES  
 LOCALIZACION Q. M. B. BONDEO N° 8  
 ALTURA NO 6 PROF EIE - 3.80  
 DESCRIPCION Arcilla seca  
 FECHA 2-1-78 OPERADOR SIMEON I. CALCAZO A. LIMA



FACULTAD DE INGENIERIA

LABORATORIO DE MECANICA DE SUELOS

CONSOLIDACION

GRAPICA PRESION - RELACION DE VACIOS

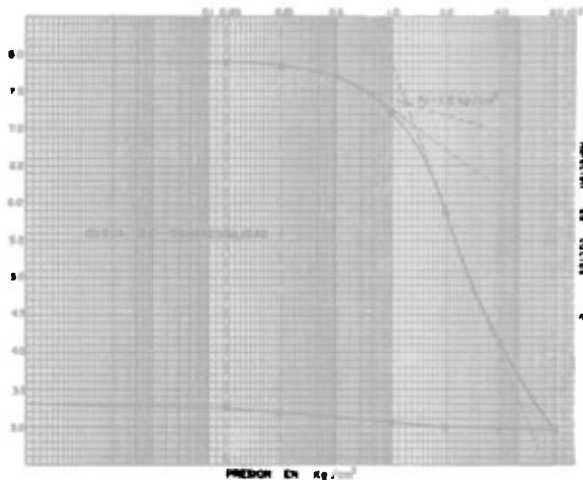
OBRAS Intervención Poblacional

LOCALIZACION 0115,50 SONDEO No. 1

MUESTRA N° 6 PROF 3,15 - 3,80 m

DESCRIPCION Arena ligeramente feldespática de alta plasticidad.

FECHA 2-1-76 OPERADOR S. G. S. CALCULO Adolfo H.



LAMINA III. 5

## CAPITULO IV

### PRUEBAS DE RESISTENCIA AL ESPUERZO CONSTANTE

#### IV.1 Introducción

La determinación de la resistencia de los suelos al esfuerzo cortante, es necesaria para cualquier análisis de estabilidad de ellos en las obras de ingeniería civil. Se expresa en general mediante la hipótesis de ruptura de Coulomb como sigue:

$$\sigma = c + \sigma' \cdot \operatorname{tg} \phi \quad (\text{IV.1})$$

donde:

$\sigma$  = resistencia al esfuerzo cortante

$c$  = cohesión

$\sigma'$  = esfuerzo normal

$\phi$  = ángulo de fricción interno

La resistencia al esfuerzo cortante depende de un número importante de factores; en suelos gruesos los principales son:

La compacidad, el contenido de agua, la forma de los granos, la mineralogía y el confinamiento.

En suelos cohesivos se agregan a los anteriores, la historia previa de consolidación del suelo, la velocidad de aplicación de las cargas, y las condiciones de drenaje.

En los suelos el esfuerzo normal debe ser el efectivo y la ley de Coulomb se modifica así:

$$\sigma = c + (\sigma' - u) \tan \phi \quad (IV.2)$$

donde:

$\sigma'$  = esfuerzo normal total

$u$  = presión neutra en el agua

Para determinar la resistencia de los suelos al esfuerzo cortante en el laboratorio, se utilizan diferentes pruebas. las más usuales son:

- a) Prueba triaxial  $\left\{ \begin{array}{l} s_1 \text{ no consolidada - no drenada} \\ s_2 \text{ consolidada - no drenada} \\ s_3 \text{ consolidada - drenada} \end{array} \right.$
- b) Prueba de compresión simple
- c) Prueba de corte directo

Para que exista correlación, entre la determinación de la resistencia al esfuerzo cortante obtenido en las pruebas de laboratorio y la resistencia al corte que se desarrolla en el campo, es importante elegir el tipo de prueba que mejor represente las condiciones del problema por resolver.

#### IV.2 Pruebas triaxiales

#### IV.2.1 Generalidades

La prueba de compresión triaxial consiste en someter a un espécimen cilíndrico de 3.6 cm de diámetro y 9 cm de altura, a esfuerzos en 3 direcciones ortogonales, uno vertical  $\sigma_1$  y dos horizontales  $\sigma_2$  y  $\sigma_3$ ; estos dos últimos esfuerzos son iguales los que se producen en el interior del cilindro, en un plano diametral se pueden analizar como bidimensionales.

Para realizar el ensayo, el espécimen se coloca en el interior de una cámara cilíndrica de lucite con base metálica (llamada cámara triaxial) y las presiones se le proporcionan a través de un líquido (generalmente agua) del cual se protege a la muestra con una membrana impermeable.

La presión lateral que se ejerce con el agua es normal por ser hidrostática, y produce esfuerzos principales  $\sigma_2 = \sigma_3$  sobre el espécimen.

El líquido en la cámara proporciona la presión requerida debido a la acción de un tanque con aire a presión comunicado con ella.

La carga axial se origina por una fuerza P que se transmite al espécimen por medio de un vástago delgado que atraviesa la base superior de la cámara donde el agua está a la presión  $\sigma_3$ . Se debe tener en cuenta que en el área transversal (a) del vástago se ejerce la presión  $\sigma_3$ , lo que disminuye la fuerza que llega al vástago en  $\sigma_3.a$  y finalmente la presión P llamada esfuerzo desviador es igual a:

$$p = \frac{F - \sigma_3 A}{A} \quad (IV.3)$$

donde  $A$  = área transversal de la muestra.

En las bases del espécimen actúa además de la presión  $P$ , la presión  $\sigma_2 = \sigma_3$  ejercida por el agua; en total en dirección axial -- actúa la presión  $\sigma_1$  que también es principal y que vale  $\sigma_1 = \sigma_3 + p$

#### IV.2.2 Pruebas triaxiales.

La aplicación de las presiones sobre el espécimen se puede hacer con diferentes procesos, a su vez las cargas sobre la muestra producen presiones neutras que provocan la posibilidad del flujo; las combinaciones de los procesos de carga y de las posibilidades de flujo originan diversas pruebas triaxiales.

Se pueden usar dos procesos de carga para llegar a la ruptura:

1.- El denominado esfuerzo controlado, en donde cada uno de los incrementos de carga vertical u horizontal, es fijado por el operador tanto en monto, como en tiempo de actuación y se miden las deformaciones resultantes.

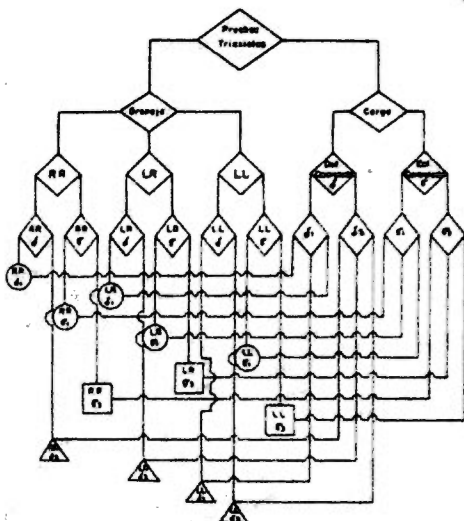
La prueba del espécimen se hace colocando la cámara en un dispositivo llamado banco triaxial que tiene una mènsula por medio de la cual se reproducen diferentes cargas, las deformaciones que las cargas producen en la probeta se miden por medio de un micrómetro.

2. - El denominado deformación controlada, donde el operador fija la deformación y mide los esfuerzos resultantes. En este proceso la cámara se coloca bajo una prensa que desciende con velocidad constante; la magnitud de las cargas, se mide instalando un anillo calibrado entre el vástago y el marco de transmisión de cargas. Las deformaciones de la probeta son medidas con un micrómetro.

En ocasiones la prueba se efectúa sobre una báscula de carga cuya carátula da directamente las cargas actuantes.

Como se indica en la ecuación IV.2 el esfuerzo efectivo a que está sometido el suelo es el que afecta su resistencia al corte; por consiguiente esta resistencia al corte variará con la posibilidad de que el agua no fluya o ya haya fluido, durante la determinación del esfuerzo tangencial que resiste el espécimen. Como existen dos esfuerzos (axial y transversal) el flujo de agua se puede deber a cualquiera de ellos y así se pueden realizar pruebas con la muestra no consolidada o consolidada, es decir drenada o no por uno u otro de los esfuerzos o por ambos.

La figura IV.1 muestra las combinaciones de drenaje y carga a que se puede someter la probeta y así mismo las pruebas usuales, las poco usadas y las que no se realizan actualmente.



DR = No desplazos por D y G.

DR = Desplazos horizontales y verticales por DR.

DR = Desplazos por DR y G.

DR = Información controladora horizontal.

DR = Información controladora vertical.

Prestar más triodos

Prestar menos triodos

Prestar no triodos

G = Información controladora horizontal.

G = Información controladora vertical.

Figura 4-100. Circuito de los triodos. Diagrama N.



FIGURA 4-101

En este trabajo se describen solo parte de las pruebas más usadas la no consolidada - no drenada, consolidada - no drenada y drenada - consolidada.

1. - Prueba no consolidada - no drenada (rápida)

Se impide el drenaje durante las dos etapas de la prueba, la -- primera cuando se aplica  $\sigma'_3 = \sigma'_2$  y la segunda cuando se somete a  $\sigma'_1$ . Permite determinar la resistencia del suelo so- metido a cargas o descargas a tal velocidad que no se disipen las presiones de poro generadas.

2. - Prueba consolidada x no drenada (consolidada - rápida).

Se permite el drenaje sólo durante la primera etapa al aplicar -  $\sigma'_3$ . Es la más adecuada para determinar la resistencia de los suelos consolidados sometidos a cargas rápidas, como en el -- caso de vaciado rápido de una presa, sismos, o el paso de vehí culos sobre terraplenes.

3. - Prueba consolidada - drenada (lenta)

En este caso los esfuerzos aplicados al espécimen se hacen - - efectivos. Se permite el drenaje durante toda la prueba; al so- meterlo a  $\sigma'_3$  no se dejan generar presiones de poro y aplican- do cargas durante la segunda etapa con una velocidad adecuada - se evita incrementos de presión neutra. Se usa para determi- nar la resistencia de los suelos en el estudio de estabilidad a -

largo plazo.

Cualquier que sea la prueba triaxial se tiene durante el ensayo -- dos esfuerzos principales a los cuales está sometido el espécimen: el axial  $\sigma_1$  y el transversal  $\sigma_3$ . En un plano diametral del cilindro de prueba se tiene la condición de esfuerzos debidamente originado por los esfuerzos principales  $\sigma_1$  y  $\sigma_3$  y con la representación de Mohr se tiene el estado de esfuerzos de cualquier punto en el plano diametral fig. IV.2

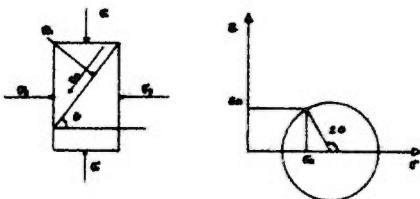


FIG. IV.2

Para un esfuerzo  $\sigma_3$  fijo se puede aumentar  $\sigma_1$  hasta llegar a la ruptura y obtener  $\sigma_1$  y  $\sigma_3$  fig. IV.3. Si se varía el esfuerzo horizontal  $\sigma_3$ , el vertical  $\sigma_1$  necesario para llevar a la falla la probeta, también se modificará y realizando modificaciones de  $\sigma_3$ , cuando menos 3, en otros tres espécimes, se tendrán 3 - esfuerzos verticales de falla diferentes. Se dispondrá de 3 parejas

de esfuerzos principales que se tienen de las 3 probetas ensayadas - llevadas a la ruptura.

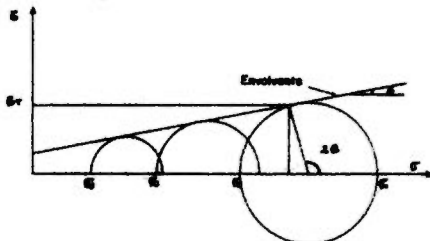


FIG. IV.3

Con cada pareja se puede dibujar un círculo de Mohr y la envolvente de ellos en el punto de contacto, mostrará la combinación de esfuerzos cortante y normal que rompió la probeta. La envolvente representa la ley de ruptura fig. IV.3

En general la ley de ruptura es una curva, si para simplicidad, se interpola una recta, la ecuación se expresa así:

$$\tau = c + \sigma \tan \phi \quad (\text{IV.1})$$

ya mencionada como ley de Coulomb.

El mismo proceso se puede seguir si en lugar de fijar  $\sigma_3$  y llegar a la falla aumentando  $\sigma_1$ ; se fijan  $\sigma_3$  y  $\sigma_1$  y posteriormente se disminuye  $\sigma_3$  hasta que se rompe el espécimen.

De el diagrama de círculos de Mohr, se obtiene la cohesión  $c$  y el ángulo de fricción interna  $\phi$  del material.

En el caso que se use la prueba rápida con deformación o esfuerzo controlados y haciendo el esfuerzo  $\sigma_3 = 0$  se tiene la llamada prueba de compresión simple.

#### IV.3 Prueba de compresión simple

La prueba consiste en aplicar una carga vertical a un espécimen cilíndrico y con ella llevarlo a la falla, sin proporcionarle ningún soporte lateral.

Tiene la ventaja de ser de fácil realización y de requerir equipo relativamente sencillo; es muy usada para estimar la cohesión del material en condiciones no drenadas. La prueba se realiza en suelos cohesivos ya que en suelos friccionantes el labrado de los espécimenes suele ser difícil o imposible.

#### IV.4 Prueba de corte directo.

Se realiza en un aparato que consta de dos cajas abiertas una fija y otra móvil que contienen a la muestra de suelo. Dos piedras porosas una superior y otra inferior proporcionan drenaje libre a muestras saturadas, cuando se desee se substituyen por placas de confinamiento al probar muestras secas.

Para realizar la prueba se coloca el espécimen en la caja y se le -

aplica una carga  $F_v$  que proporciona una presión vertical conocida - fig. IV.4. En seguida se aplica una fuerza horizontal  $F_h$  a la caja superior que se incrementa hasta que ocurre la falla del espécimen.

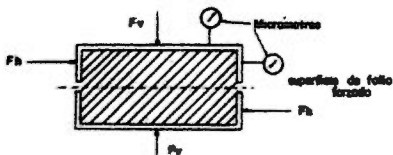


FIGURA IV.4

La prueba se puede realizar con esfuerzo controlado o con deformación controlada.

La deformación de la muestra es medida con micrómetros colocados tanto en dirección vertical como horizontal.

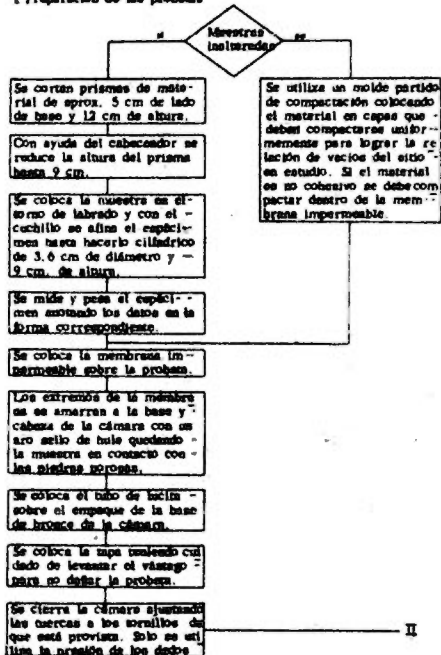
Se prueban a la falla un mínimo de 3 espécimenes, bajo 3 diferentes presiones normales, para establecer la relación entre ésta y la resistencia al esfuerzo cortante.

Es posible realizar la prueba con distintas condiciones de drenaje durante las dos etapas. En la práctica debido a las dificultades involucradas en el control de drenaje la prueba consolidada drenada es la más utilizada; en ella se permite que el espécimen se consolide completamente bajo cada incremento de carga vertical y horizontal.

Durante el desarrollo de las pruebas de resistencia al esfuerzo constante se pueden llegar a cometer errores debidos a diversos factores. La experiencia y el cuidado que se usagan en la realización de la prueba ayudarán a evitarlos.

## Pruebas triaxiales

### I Preparación de las probetas



### Pruebas Triaxiales

#### II Proceso de ensayo (presión constante)

Prueba no consolidada-no  
drenada

Se coloca la cámara en  
el horno de consolidación.

Se instala el micrómetro  
en posición vertical.

Se llena de agua la cámara  
con presión conocida  
 $F_1$

Se toman lecturas iniciales  
del micrómetro

Se colocan cargas sobre  
la membrana. Los incre-  
mentos se colocan con  
intervalos de 1 milí.

El paso de cada incre-  
mento puede ser un dé-  
cimo de la carga esti-  
mada en la falla.

Al finalizar el espesamiento,  
se quita la presión de  
la cámara

Se desarma la cámara

Se hace un croquis de  
la prueba.

Se pone la prueba en  
una cuchilla y se pesa

Se coloca en el horno  
para obtener su peso  
seco.

Prueba consolidada-no drenada

Se coloca la cámara en  
el horno de consolidación.

Se instala el micrómetro  
en posición vertical.

Se llena de agua la cámara  
con presión conocida  
 $F_1$

Se toman lecturas iniciales  
de micrómetro y bur-  
eta

Se abren las llaves de  
control de flujo y se po-  
ne en marcha el circula-  
tor

Se toman lecturas de mi-  
crometro y burta en in-  
tervalos de tiempo

Se trazan gráficas semío-  
garmonicas de lecturas de  
micrómetro y burta con  
sus tiempos.

Al definir las gráficas de  
consolidación se da por  
terminado el proceso bajo  
la presión  $F_1$  y se cie-  
rra las llaves de flujo

Al definir las gráficas de  
consolidación se da por  
terminado el proceso  
hasta la presión  $F_1$ .

Con las llaves de control  
de flujo abiertas se apli-  
ca la primera carga ver-  
tical.

Se llena el micrómetro y  
la burta a intervalos de  
tiempo adecuados hasta  
que las lecturas sea-  
nzan.

Se aplican las siguientes  
cargas operando en igual  
ritmo.

Prueba consolidada-drenada

Se coloca la cámara en  
el horno de consolidación.

Se instala el micrómetro  
en posición vertical.

Se llena de agua la cámara  
con presión conocida  
 $F_1$

Se toman lecturas iniciales  
de micrómetro y bur-  
eta

Se abren las llaves de  
control de flujo y se pon-  
en marcha el circula-  
tor

Se toman lecturas de mi-  
crometro y burta en in-  
tervalos de tiempo

Se trazan gráficas semío-  
garmonicas de lecturas de  
micrómetro y burta con  
sus tiempos.

Con las llaves de control  
de flujo abiertas se apli-  
ca la primera carga ver-  
tical.

Se llena el micrómetro y  
la burta a intervalos de  
tiempo adecuados hasta  
que las lecturas sea-  
nzan.

Se aplican las siguientes  
cargas operando en igual  
ritmo.

### Pruebas triaxiales

#### II. Proceso de cierre (Método de consolidación)

##### Prueba no consolidada - no drenada

La cámara se coloca en el dispositivo de carga, centrando el vástago en el taladro del marco.

Se coloca el micrómetro apoyado sobre el marco en posición vertical.

Se llena de agua la cámara con una presión  $\sigma_3'$ .

Una vez dado la presión lateral - se ajusta el dispositivo de carga y se toma la lectura inicial del micrómetro.

Se pone en marcha el mecanismo de aplicación de carga. El ensayo desciende con velocidad constante comprimiendo el espécimen contra la plataforma marcando las cargas que se están aplicando, se toman deformaciones y cargas.

Al llegar la probeta se para - que el agua pase de la cámara al sistema.

Se cierran la cámara, se desliga el espécimen y se quita la membrana.

Se hace un dibujo de la probeta - se limpia.

Se coloca la probeta en una clipera y se pasa.

Se coloca en el tornillo para observar el desplazamiento.

##### Prueba consolidada - no drenada

Se coloca la cámara en el basco de consolidación.

Se coloca el micrómetro en posición vertical.

Se llena de agua la cámara con una presión  $\sigma_3'$ .

Se toman lecturas iniciales de micrómetro y bureta.

Se elevan las llaves de control de flujo y se pone en marcha el cronómetro.

Se toman lecturas de micrómetro y bureta en diferentes tiempos.

Al detallarse en las gráficas semi logarítmicas de lecturas de micrómetro y bureta contra tiempo, la consolidación es de terminado el proceso bajo presión  $\sigma_3'$ .

Se cierran las llaves de control de flujo y se coloca el pasador - del vástago para desmontarlo.

Se cierra la presión del sistema.

Se quita el micrómetro y la membrana del mango de agua.

Se traslada la cámara al dispositivo de carga y se lava el micrómetro.

Se aplica una presión igual a la que se utilizó en la etapa de consolidación.

### Pruebas orientadas

#### III Cálculo

**Prueba no compresible - se drenada**

- [C] Con los datos iniciales se calcula el área media, volumen y peso volúmetrico inicial de la muestra.
- [S] Se determina el contenido de agua de la muestra.
- [S] Se obtienen el peso volúmetrico seco, la relación de vacío y el grado de compactación iniciales.
- [S] Se obtienen la deformación lineal, deformación esmeril y su base a través al Área corregida.
- [S] Se calcula el espesor desviado.
- [S] Se traza los círculos de estanqueo y la envolvente.
- [S] Se obtienen la cohesión y el diámetro de fricción interno.

**fin**

**Prueba compresible - se drenada**

- [C] Con los datos iniciales se calcula la el Área media, volumen y el peso volúmetrico inicial de la muestra.
- [S] Se determinan los contenidos de agua inicial y final de la muestra.
- [S] Se obtiene el volumen de sólidos del material.
- [S] Se calcula volumen de vacío, relación de vacío y grado de compactación iniciales.
- [S] Se obtiene la variación total de solubles y el volumen corrugado.
- [S] Se determinan volumen de vacío, relación de vacío y grado de compactación finales.
- [S] Se obtiene deformación esmerilizada y la pluma corrugada.
- [S] Se calcula Área inicial de ruptura.
- [S] Se obtienen las deformaciones lineal y esmeril y con ellas el Área corrugada.
- [S] Se obtiene el espesor desviado.
- [S] Se traza los círculos de estanqueo y la envolvente.
- [S] Se obtienen la cohesión y el diámetro de fricción interno.

**fin**

### Comprueba simple

IV Preparación de los probetas. - Sustituir el de los probetas tridimensionales en los primeros 4 pasos.

### V Proceso de ensayo

#### Refuerzo controlado

Se coloca el espécimen con su base y costado contraído bajo el marco de carga.

Se inicia el micrómetro y se lleva la lectura inicial.

Se aplica el primer incremento de carga y se pone en marcha el cronómetro, cada incremento de carga debe durar durante 1 minuto.

La prueba se termina al sobrepasar la muestra una deformación uniaxial del orden de 20% o antes si llega a la falla.

Al fallar la probeta se quita ésta del marco.

se saca un cuadro de lo que se ha visto.

Se coloca la probeta en una clipera se pesa y se coloca en el horno -- para obtener su peso seco

VI pág. 90

#### Deformación controlada

Se coloca sobre el dispositivo de carga el espécimen con base y costado separados.

Se toma el espécimen bajo el mango de carga.

Se inicia el micrómetro y se nota la lectura inicial.

Se pone en marcha el mecanismo del dispositivo de carga. El motor desciende con velocidad constante comprimiendo el espécimen sobre la placa roja con lo cual el dispositivo marcará las cargas aplicadas.

Se sacan lecturas a cada milímetro de deformación. Esta fracción se puede variar.

La prueba se termina al sobrepasar la muestra una deformación uniaxial del orden del 20% o antes si llega a la falla.

Al fallar la probeta se quita ésta del aparato.

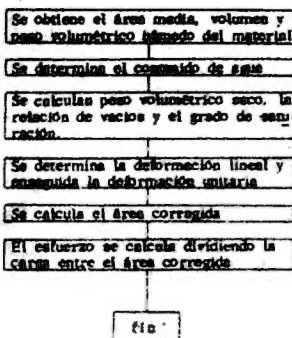
se saca un cuadro de lo que se ha visto.

Se coloca la probeta en una clipera se pesa y se coloca en el horno para obtener su peso seco.

VI pág. 90

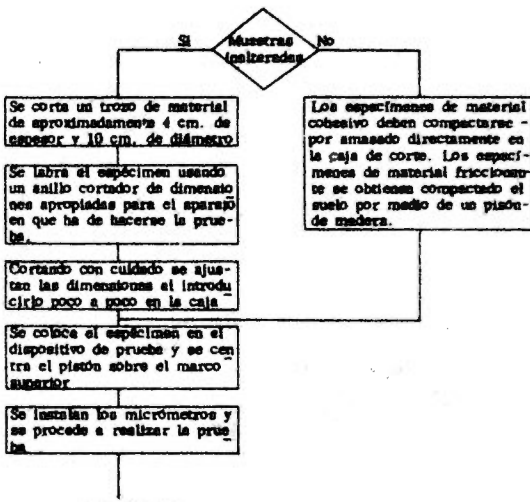
## Compresión simple

### VI. Cálculo



## Prueba de corte directo

### VII Preparación del espécimen



## Prueba de ensayo directo

## VIII Proceso de ensayo y cálculo

## Proceso de ensayo

## Prueba consolidada - directa

Se aplica la carga normal y se observa la evolución de la consolidación, cuestionado - losetas en diferentes tiempos.

Se traza la curva desplazamiento-log<sub>10</sub> t para asegurarse que se ha completado la consolidación antes de iniciar la prueba.



Se aplican sucesivamente incrementos de carga iguales al 10% de la carga de falla estimada.

Por deformación controlada - se aplica una velocidad de deformación adecuada y se restringen las cargas.

Al fallar el ensayo se pasa todo peso de colgarlo en el horquilla para su remoción.

Cálculo

## Cálculo

## Se obtienen área inicial, volumen y peso volúmetrónico del ensayo.

## Se calculan los contenidos de agua inicial y final.

## Se obtiene el volumen de sólidos.

## Se calculan volúmenes de vacíos, - relación de vacíos y grado de aglomerado iniciales.

## Se calculan altura y volumen comprimido por consolidación.

## Se calculan volúmenes de vacíos, - relación de vacíos y grado de aglomerado finales.

## Se obtienen las deformaciones correspondientes de la redilla.

## Se calcula el área corregida.

## Se obtienen los esfuerzos cortantes y normales en la falla.

## Se sacan los pesos obtenidos en el diagrama de Mohr.

## Se traza la recta que ajuste a los pesos y se determina constante y fórmula de fricción interna.

Fin

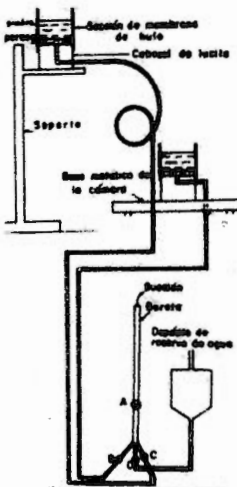


#### **IV.5 Descripción de las pruebas triaxiales**

##### **IV.5.1 Equipo**

1. - Dispositivo de transmisión de carga, y cámara triaxial para probetas de 3.6 cm. de diámetro y 9 cm. de altura.
2. - Cabezador de muestras, tornillo de labrado, cuchillos y segura de alambre
3. - Membranas de hule, aro seco de hule y dispositivo para colocar membranas.
4. - Cápsulas, balanza, micrómetro, placa de carga, balón, cronómetro vernier y molde partido de compactación.

#### IV. 6 Desinfección del aparato



1. - Se desarma y limpia la cámara y todas sus Uniones. Se cierran todas las válvulas.
2. - Se fija el cabezal de lucio interior a la cámara en un soporte. El cabezal se coloca invertido.
3. - Se coloca una sección corta de membrana de hule sobre la base y otra sobre el cabezal de lucio.
4. - Con agua se llenan esas secciones de membrana y también el depósito de agua.
5. - Se aplica una succión en el extremo superior de la bureta y se abren las válvulas A y B. Se mantiene la succión y se añade agua a la membrana de la base según se necesita, hasta que no se observan burbujas de aire en la Unión. Se cierra la válvula B.
6. - Se repite la étape 5 sosteniendo ahora la válvula C en lugar de la B.

7. - Se llena bien el depósito de agua y -  
se repite la etapa 5 accionando ahora  
la válvula D

**IV.7 Preparación de las probetas maderas.**



1. - Se cortan prismas de material maderado de 5 cm de lado de base y 12 cm. de altura.
2. - Con ayuda del cabecero dor se reduce la altura del prisma a 9 cm.
3. - Se coloca la muestra en el tornillo de labrado y con un cuchillo o con el cortador de alambre, se afina el espécimen hasta su forma cilíndrica definitiva de aproximadamente 3.6 cm. de diámetro de base y 9 cm de altura.
4. - Se mide y se pesa el espécimen apuntando los datos en el registro (Máximo IV.1)



5. - Dentro del dispositivo médico de 4.5 cm. de diámetro y 9 cm. de altura, - se coloca la membrana, doblando sus extremos hacia aduera y expandiendo-  
la al crear un vacío entre membrana  
y cilindro.
6. - El conjunto se coloca sobre la probeta  
ta cubriendola.
7. - Se suspende el vacío con lo que la  
membrana se adhiere en torno a la  
probeta. Se retira el cilindro.
8. - El extremo superior de la membrana  
se sujetta con un aro sello de bula al  
cabezal.



9. - El extremo inferior de la membrana se amarra sobre la base de bronce de la cámara con el aro sellado de hule quedando la muestra en contacto con la piedra porosa.

10. -Se coloca el tubo de lucita sobre el empaque de la base de bronce de la cámara. Se coloca la tapa, teniendo cuidado de levantar el vislumbrante para no dañar la probeta.

11. -Se cierra la cámara ajustando las tuercas a los tornillos de que cada provista. Solo se utiliza la presión de los dedos.

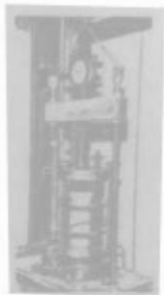
#### IV.8 Muestras alteradas.

Puede obtenerse un espécimen de material alterado de una prueba de compactación y labrar las probetas como se hace con los materiales inalterados. Si ésto no es posible, se utiliza un molde partido de compactación para producir probetas con el contenido de agua y el peso volumétrico deseados, generalmente con los valores que proporciona la prueba prototípica. La forma de compactar así como el número de capas y los golpes por capa, deben de terminarse previamente dependiendo del tipo de material.

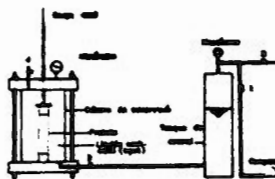
Una vez obtenidas las probetas, se siguen los pasos descritos para las muestras inalteradas de IV.7.4 a IV.7.11.

#### IV.9 Proceso de ensayo

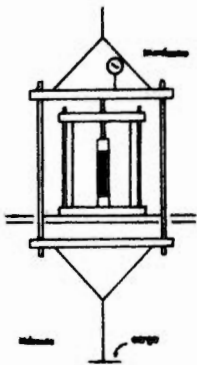
La ruptura del espécimen puede llevarse a cabo con aplicación directa de carga (esfuerzo controlado) o con dispositivo de carga (desformación controlada). En la prueba consolidada-drenada (lenta) generalmente se emplea el método de esfuerzo controlado.

**IV.10 Método de enfriamiento controlado****A) Presión no consolidada en desnivel**

- 1.- Se coloca la cámara en el horno de consolidación y se pone el micrometro se pone de vertical.



- 2.- Se llena de agua la cámara como si -- que con la válvula 2 cerrada, se -- abre la llave 1 y se permite que el -- agua pase a la cámara abriendo las -- llaves 3 y 4. Al entrar el agua por -- la llave 4 se cierra ésta. Cuando -- se da la presión requerida se cierra la -- llave 1.



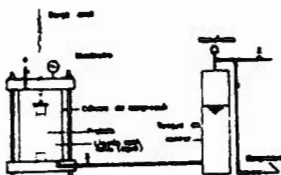
- 3.- Se toma lectura inicial de micrómetro y se seca (área IV.1)
- 4.- Se colocan cargas sobre la cámara colocando los incrementos con intervalo de 1 milímetro.
- 5.- El peso de cada incremento puede ser un décimo de la carga estimada de falla ordinaria. En ocasiones es deseable disminuir los incrementos de carga a la mitad cerca de la falla; en este caso los intervalos se reducen también a la mitad.
- 6.- Después de la falla del espécimen - cosa el proceso de incrementar cargas, se quita la presión de la cámara, se retira los pesos y el micrómetro.
- 7.- Se desarma la cámara
- 8.- Se hace un croquis de la probeta después de la falla; se pasa la probeta y se mete al horno para determinar su peso seco.

B) Prueba consolidación - no drenada

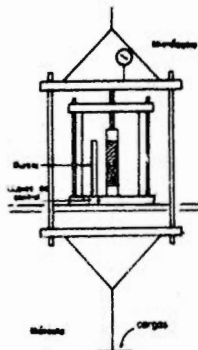
## a) Etapa de consolidación.



- 1.- Se coloca la cámara en el banco de consolidación y se pone el micrómetro en posición vertical.



- 2.- Se llena de agua la cámara como sigue: con la válvula 2 cerrada, se abre la llave 1 y se permite que el agua pase a la cámara abriendo las llaves 3 y 4. Al ocurrir el agua por la llave 4, se cierra ésta. Cuando se da la presión requerida se cierra la llave 1.



3.- Se toman las lecturas iniciales de micrómetro y bureta. Se abren las llaves de control de flujo instaladas en la cámara y al mismo tiempo se pone en marcha el cronómetro, tomando una serie de lecturas de micrómetro y bureta en intervalos de tiempo adecuados.

4.- Se trazan gráficas semilogarítmicas de lecturas de micrómetro y bureta contra tiempos originados por el proceso de consolidación.

5.- Cuando se ha definido el 100% de consolidación, se cierran las llaves de control de flujo.

b) Etapa de carga suave hasta la falla

Se siguen los pasos descritos para la prueba no consolidada - no drenada en el método de esfuerzo controlado IV.10.A.3 a IV.10.A.8

c) Prueba de consolidación - drenada

a) Etapa de consolidación

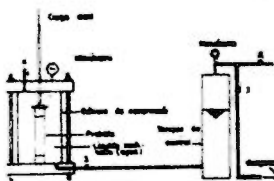
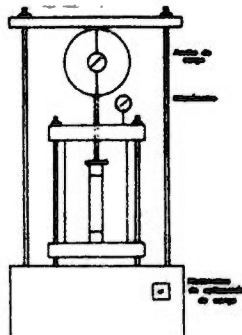
Se siguen los pasos IV.10.B.a.1 al IV.10.B.a.5

b) Etapa de carga axial hasta la falla

1. - Con las llaves de control de flujo abiertas se aplica la primera carga axial y se leen el micrómetro y los burecos a intervalos de tiempo conocidos, hasta que las variaciones volumétricas y las deformaciones sean prácticamente nulas.
2. - Se aplican sucesivamente la segunda, tercera y demás cargas, operando en igual forma. La magnitud de los incrementos varía a lo largo de la prueba, los iniciales son del orden de un décimo de la carga prevista para la falla.
3. - Los incrementos finales pueden reducirse a la mitad y quizás hasta una cuarta parte del valor antes mencionado.
4. - Al fallar el espécimen se desarma la cámara.
5. - Se hace un croquis de la probeta, se coloca en una cápsula, se pesa y se introduce al horno para obtener su

peso seco.

Las operaciones antes descritas se siguen para cada una de las probetas que se ensayan para definir la envolvente de Mohr



#### IV.11 Deformación controlada

##### A) Prueba de consolidación - no drenada

1. - La cámara se coloca en el dispositivo de carga, comprando elástico en el borde del marco de carga, se hace bajar el marco hasta casi al punto de hacer contacto.
2. - Se coloca el micrómetro apoyado sobre el marco en posición vertical.
3. - Se llena la cámara de agua como sigue: con la válvula 2 cerrada se abre la llave 1 y se permite que el agua pase a la cámara abriendo las llaves 3 y 4. Cuando el agua escorra por la llave 4 se cierra ésta. Al lograr la presión requerida se cierra la llave 1.
4. - Una vez dada la presión lateral, se ajusta el dispositivo de carga, y se toma lectura inicial del micrómetro.

- 5.- Se pone en marcha el mecanismo de aplicación de carga. El marco desciende con una velocidad uniforme comprimiendo al espécimen contra la platiforma, marcando el dispositivo las cargas que se están aplicando.
- 6.- La velocidad de deformación tiene que ser de 1 mm/mm, sin embargo se pueden aplicar velocidades menores. Se pueden someter losetas a cada 0.5-mm. de deformación, aunque puede variarse la frecuencia de acuerdo con la mayor o menor rigidez del espécimen.
- 7.- Por lo general la falla del espécimen está señalada por un regreso en la aguja de la cámara del dispositivo de carga.
- 8.- Se abren las llaves 3 y 4 permitiendo que pase el agua de la cámara al tanque. Se desarma la cámara, se desliza el espécimen de los bocas y se quita la membrana.



9. - Se hace un dibujo de la probeta en la falla, colocándola posteriormente en una cápsula y se pasa antes de introducirla al horno para su secado.

b) Prueba consolidada - no drenada.

a) Etapa de consolidación

1. - Se siguen los 5 pasos descritos para la prueba consolidada - no drenada - método esfuerzo controlado IV.10.B.a.1 a IV.10.B.a.5

2. - Se cierra la llave 3, se coloca el pasador para detener el visímetro y se quita el micrómetro.

3. - Se abana la presión del sistema, y se desconecta la manguera que viene del tanque de agua.

4. - Se traslada la cámara al dispositivo de carga, se coloca el micrómetro y se aplica una presión igual a la que se usó en la etapa de consolidación.

b) Etapa de carga hasta la falla

Se sigue el mismo procedimiento descrito para la prueba no consolidada no drenada

IV. II A.4 al IV. II A.9

## IV. 12 Cálculos pruebas triaxiales

A) Prueba no consolidada - no drenada. (Máximo IV.1)

1. - Con las áreas iniciales, se calcula el área media  $A_m$  como sigue:

$$A_m = \frac{10.75 + 10.75 + 10.46}{6} = 10.70 \text{ cm}^2$$

$$A_m = \frac{A_s + A_c + A_i}{6}$$

dónde:

$A_s$  = área superior

$A_c$  = área central

$A_i$  = área inferior

2. - Se obtiene el volumen  $V_t$  y el peso volumétrico  $\gamma_m$  en como sigue:

$$V_t = 10.70 (8.50) = 95.23 \text{ cm}^3$$

$$V_t = A_m H_m$$

dónde  $H_m$  = altura de la muestra

$$\gamma_m = \frac{131.70}{95.23} = 1.38 \text{ ton/m}^3$$

$$\gamma_m = \frac{W_l}{V_t}$$

dónde  $W_l$  = peso inicial de la probeta

$$\delta = 9.50 - 9.00 = 0.50 \text{ mm.}$$

3. - Se obtiene la deformación lineal  $\epsilon$  del material restando a la lectura inicial del micrómetro las lecturas subsiguientes.

4.- La deformación unitaria  $\epsilon$  se obtiene como sigue:

$$\epsilon = \frac{d}{l_0} = 0.039$$

$$\epsilon = \frac{d}{l_0}$$

5.- El área corregida  $A_c$  se obtiene:

$$A_c = \frac{10.70}{0.961} = 11.13 \text{ cm}^2$$

$$A_c = \frac{A_m}{1 - \epsilon}$$

6.- El esfuerzo desviador  $\sigma'_1 - \sigma'_3$  se calcula:

$$\sigma'_1 - \sigma'_3 = \frac{9.0}{11.13} = 0.809 \text{ kg/cm}^2$$

$$\sigma'_1 - \sigma'_3 = \frac{P}{A_c}$$

donde  $P$  = carga actuante

7.- El contenido de agua  $w$  se obtiene:

$$w = \frac{65.03}{66.57} \times 100 = 96\%$$

$$w = \frac{W_w}{W_s} \times 100$$

donde:

$W_w$  = peso del agua

$W_s$  = peso de los sólidos

8.- Se traza el círculo de esfuerzos utilizando los valores de  $\sigma'_1 - \sigma'_3$  en la falla. Como se realizan varias pruebas, se traza la envolvente a los diversos círculos de Mohr obtenidos, uno por prueba. (Máxima IV.2).

$$c = 3.9 \text{ ton/m}^2 \quad \phi = 2^\circ$$

- 9.- Se determina la cohesión  $c$  (ordenada al origen de la envolvente) y el ángulo de fricción interno  $\phi$  (ángulo que forma la envolvente con la horizontal).
- 10.- Con el peso específico de sólidos  $S_d$ , se calcula el peso volumétrico seco  $\gamma_d$ . La relación de vacíos  $e$  y el grado de saturación  $G_w$  como sigue:

$$\gamma_d = \frac{1.38}{1.98} = 0.70 \text{ ton/m}^3$$

$$e = \frac{2.38}{0.70} - 1 = 2.40$$

$$G_w = \frac{2.38(0.98)}{2.40} = 97\%$$

$$\gamma_d = \frac{\gamma_m}{1+w}$$

$$e = \frac{S_d}{\gamma_d} - 1$$

$$G_w = \frac{S_d w}{e}$$

B) Prueba consolidada - no drenada  
(Método IV.3)

$$A_m = 9.96 \text{ cm}^2 \quad V_i = 88.80 \text{ cm}^3$$

$$\gamma_m = 1.29 \text{ ton/m}^3$$

- 1.- Se obtienen área media  $A_m$ , volumen  $V_i$  y peso volumétrico bruto medio  $\gamma_m$  como en IV.12.A.1. y IV.12.A.2

- 2.- Se determinan contenidos de agua inicial y final como sigue:

$$w_i = \frac{70.92}{43.78} \times 100 = 162\%$$

$$w_f = \frac{52.70}{43.78} \times 100 = 120\%$$

$$w_i = \frac{w_{wi}}{w_s} \times 100$$

$$w_f = \frac{w_{wf}}{w_s} \times 100$$

donde:

w = contenido de agua

Ww = peso del agua

Ws = peso de sólidos

- 3.- Con el peso específico de sólidos  $\gamma_s$ , y el peso de sólidos se determina el volumen de sólidos  $V_s$

$$V_s = \frac{43.78}{2.19} = 19.99 \text{ cm}^3$$

$$V_s = \frac{W_s}{\gamma_s}$$

- 4.- Se calculan volumenes de vacíos - inicial  $V_{vi}$ , relación de vacíos - inicial  $e_i$  y grado de saturación inicial  $G_{wi}$  como sigue:

$$V_{vi} = 68.80 - 19.99 = 48.61 \text{ cm}^3$$

$$e_i = \frac{68.61}{19.99} = 3.442$$

$$G_{wi} = \frac{70.92}{68.61} = 103\%$$

$$V_{vi} = V_l - V_s$$

$$e_i = \frac{V_{vi}}{V_s}$$

$$G_{wi} = \frac{W_{wi}}{V_{vi}}$$

- 5.- La variación total de volumen

$\Delta V$  se obtiene como sigue:

$$\Delta V = \left( \frac{162.120}{100} \right) 43.78 = 18.39 \text{ cm}^3$$

$$\Delta V = \left( \frac{w_i - w_f}{100} \right) \frac{W_s}{\gamma_s}$$

6.- El volumen corregido  $V_c$  se obtiene:

$$V_c = 89.30 - 18.39 = 70.41 \text{ cm}^3$$

$$V_c = V_1 - \Delta V$$

7.- El volumen de vacíos final  $V_{vf}$  es:

$$V_{vf} = 70.41 - 19.99 = 50.42 \text{ cm}^3$$

$$V_{vf} = V_c - V_s$$

8.- Se determina relación de vacíos final  $\alpha_f$  y grado de saturación  $G_{sf}$  del  $G_{vf}$

$$\alpha_f = \frac{50.42}{19.99} = 2.522$$

$$\alpha_f = \frac{V_{vf}}{V_s}$$

$$G_{vf} = \frac{52.70}{50.42} = 104\%$$

$$G_{vf} = \frac{W_{vf}}{V_{vf}}$$

9.- En la etapa de ruptura se determina la altura corregida restando a la altura inicial la deformación de la probeta en la etapa de consolidación.

$$H_c = 89.30 - 8.915 = 80.31 \text{ mm.}$$

$$H_c = H_m - \text{def. const.}$$

10.- El área inicial de ruptura  $A_{i \text{ rup}}$  es:

$$A_{i \text{ rup}} = \frac{70.41}{8.031} = 8.77 \text{ cm}^2$$

$$A_{i \text{ rup}} = \frac{V_c}{H_c}$$

11.- Se obtiene la deformación unitaria  $\epsilon$

$$\epsilon = \frac{4.5}{80.31} = 0.056$$

$$\epsilon = \frac{\delta}{H_c}$$

donde  $\delta$  = deformación lineal

12. - Se determina el área corregida de ruptura  $A_{c, rup}$  como sigue:

$$A_{c, rup} = \frac{0.77}{0.946} \approx 9.29 \text{ cm}^2$$

$$A_{c, rup} = \frac{A_{c, r}}{1 - \epsilon}$$

13. - El esfuerzo desviador  $f_1 - f_3$  se obtiene como sigue:

$$f_1 - f_3 = \frac{4.5}{9.29} = 0.484 \text{ kg/cm}^2$$

$$f_1 - f_3 = \frac{P}{A_{c, rup}}$$

donde  $P$  = carga.

$$c = 0.5 \text{ Ton/m}^2 \quad \phi = 16.5^\circ$$

14. - Se dibujan los círculos de Mohr, se traza la envolvente y se obtienen la cohesión  $c$  y el ángulo de fricción interno  $\phi$  (Mínima IV. 6)

c) Prueba consolidada - drenada

- El cálculo de la prueba es semejante al descrito para la prueba consolidada - no drenada IV.12.B.1 a - - - IV.12.B.14.

FACULTAD DE INGENIERIA  
LABORATORIO DE MECANICA DE SUELOS  
TRIAXIAL RAPIDA

OBRA Paseo de Comercio,  
LOCALIZACION 0-150.00 TONDO No 2  
MUESTRA No 5 PROP 4.00 - 9.00 m  
DESCRIPCION Arcilla ligeramente vidriada.  
FECHA 3-X-75 OPERADOR A.V. CALIDAD 1.000

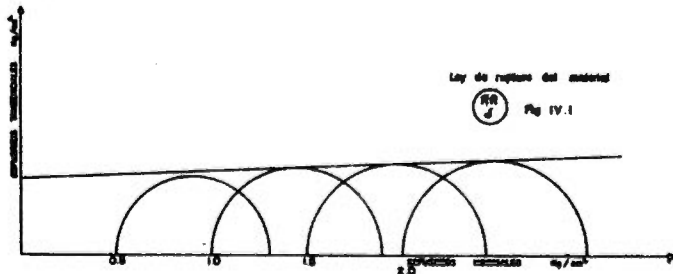
FACULTAD DE INGENIERIA  
LABORATORIO DE MECANICA DE SUELOS  
TRIAXIAL NO CONSOLIDADA NO DRENADA

OBRA Puente Cofreco LOCALIZACION Q L 150.0  
SONDOS No 2 MUESTRA No 1 PROF 4.0 - 8.0 m.  
DESCRIPCION Arena Gruesa con yeso  
FECHA 3-11-78 OPERADOR A. VILLALBA CALCULO A. LIMA

Profundidad m	$\gamma'_d$ $T/m^3$	$\delta'$ %	$C_{v0}$ $m^2/s$	$D$ $m$	$C - \phi$ $m^2/s^0.5$	$T =$ $T/m^3$	PARAMETROS DE RESISTENCIA AL DESLIZAMIENTO	
							$\sigma'_{eff}$ $T/m^2$	$\sigma'_{max}$ $T/m^2$
1	9.8	0.70	2.40	97	0.6	0.609	1.30	
2	9.8	0.60	2.45	95	1.0	0.666	1.37	$\phi = 28^\circ$
3	9.8	0.70	2.40	98	1.2	0.814	1.38	
4	9.7	0.71	2.35	99	2.0	0.970	1.39	
								$C = 3.0 \text{ T/m}^2$

ESCALA 1cm = 0.10 m. Adm

$E_0 = 2.38$



FACULTAD DE INGENIERIA  
LABORATORIO DE MECANICA DE SUELOS  
TRIAXIAL CONSOLIDADA RAPIDA

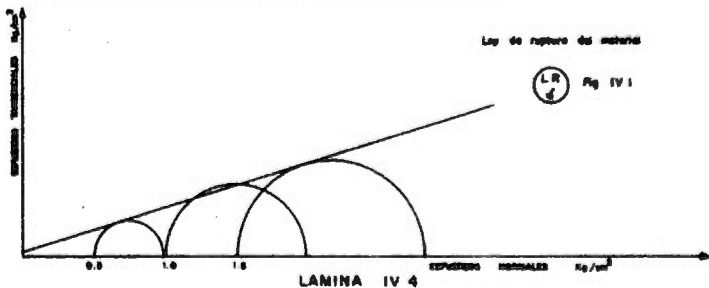
OBRA Aeropuerto General  
LOCALIZACION Lote 44 SONDEO No. 9  
MUESTRA No. 1 PROF. 1.00 - 4.00 m  
DESCRIPCION Anilla gris verdosa.  
FECHA 27-7-78 OPERADOR Lopez Cachorro & Lopez

INICIALES DE LA MUESTRA						
1.16 cm	As = 10.06	cm <sup>3</sup>	W = 114.70	g		
1.33 cm	As = 9.89	cm <sup>3</sup>	Vf = 86.80	cm <sup>3</sup>		
1.59 cm	As = 10.31	cm <sup>3</sup>	Tm = 1.29	T/m <sup>2</sup>		
0.92 cm	As = 10.99	cm <sup>3</sup>	9.96	cm <sup>3</sup>		
dad de aplicación de la carga 1mm/min. f = 0.5				kg/cm <sup>2</sup>		
<u>CONDOS DE AGUA</u>						
AL	FINAL		Bv = 2.19	Av = $\frac{(V_f - V_0)}{V_0} \times 100$ = 28.19%		
0.424	Wf = 110.70		Vf = $\frac{V_0}{V_0 + V_w} \times 100$ = 19.96%	W = Wf - Av = 70.41%		
5.50	Wf = 65.54		Vw = Vf - V0 = 66.81	Vf = Wf - Vw = 50.42%		
0.028	Wf = 52.70		f = $\frac{V_0}{V_0 + V_w} \times 100$ = 1.662	$\sigma = \frac{Wf}{V_0} = 2.522$		
1.72	Total = 22.70					
1.75	Wf = 43.75		Q = $\frac{Wf}{V_0} = 101.4$	$\sigma = \frac{Wf}{V_0} = 104.5$		
0.2	Wf = 12.0					
<u>DE CONSOLIDACION</u>						
MUESTR	TIEMPO	JES. INC	ESTAPA DE RUPTURA			
cm <sup>-2</sup>	MIN	mm	CARGA	LIC. INC	DEF.	
			0	13.9	0	
21.5	0	13.57	1.5	13.0	0.5	$\Delta e = \frac{E_0 - E_1}{E_0} \times 100 = 80.11\%$
19.5	1	12.92	2.6	10.5	1.0	$\Delta e = \frac{E_0 - E_1}{E_0} \times 100 = 8.77 \text{ cm}^2$
19.3	1	12.70	3.0			$\sigma = \frac{Q}{A} = 0.096$
15.8	10	12.460	3.8	9.3	2.0	$\Delta e = \frac{E_0 - E_1}{E_0} \times 100 = 3.49 \text{ cm}^2$
17.6	40	12.502	3.7			$\sigma = \frac{Q}{A} = 1.6$
			4.0	8.2	3.0	$\sigma = \frac{Q}{A} = 0.404 \text{ kg/cm}^2$
13.0		10.700	4.2			$\Delta e = \frac{E_0 - E_1}{E_0} \times 100$
10.2		8.410	4.4	7.3	4.0	
5.2		7.152	6.5	7.0	5.5	
			6.2			
5.0		4.950				
6.2		4.850				
5.1		4.660				
5.3		4.660				
6.0		4.610				



FACULTAD DE INGENIERIA  
LABORATORIO DE MECANICA DE SUELOS  
TRIAXIAL CONSOLIDADA NO DRENADA

OBRA Autovía Chamaca LOCALIZACION 11.844  
SONDEO No 6 MUESTRA No 3 PROF 3.0 - 4.0 m.  
DESCRIPCION Arena, silt, yeso  
FECHA 7-7-78 OPERADOR François Léveillé CALCULO A. M. B.



IV. 13 Posibles errores en las prue  
bas triaxiales.

- 1.- Incorrecta medición del espaci  
men.
- 2.- Espécimen mal cabeceado dando  
lecturas erróneas.
- 3.- Permeabilidad en la membrana  
y fugas en conexiones de dren  
aje.
- 4.- Fricción del vástago
- 5.- Remoldeo del material durante  
la preparación de los probetas.
- 6.- Mala determinación de los ca  
fuerzos y las deformaciones.

**IV.14 Descripción de la prueba de compresión simple.**

**IV.14.1 Equipo**

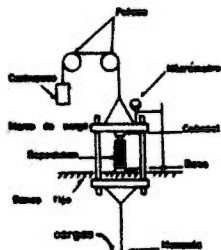
Es el mismo descrito en los puntos IV.5.1.1., IV.5.1.2 y IV.5.1.4 del equipo para la prueba triaxial.

**IV.15 Preparación de los especímenes.**

Se siguen los 5 primeros pasos del proceso descrito para la prueba triaxial IV.7.1 a IV.7.5

**IV.16 Procedimiento de prueba con aplicación directa de carga (esfuerzo controlado)**

- 1.- Se coloca el especímen con su base y cabezal instalados, centrados bajo el marco de carga.
- 2.- Debe existir buen contacto entre el especímen y el marco de carga a través del balín y placa del cabezal.
- 3.- Se coloca el micrómetro y se anota la lectura inicial (Máxima IV.5).



- 4.- Se pone en marcha el cronómetro y se aplica la carga. Antes de aplicar el siguiente incremento de carga, se toma la lectura del micrómetro; cada incremento debe actuar durante 1 min.
- 5.- Al fallar la probeta se quita la muestra del aparato.
- 6.- Se dibuja la falla de la probeta en una cápsula, se pesa y se coloca en el horno para obtener su peso seco.

**IV.17 Proceso de prueba con deformación controlada.**

- 1.- Se coloca sobre el dispositivo de carga el espécimen con su base y cabezal instalados.
- 2.- Se centra el espécimen bajo el marco móvil, se acciona el dispositivo hasta lograr contacto con el cabezal a través del bellín.
- 3.- Se instala el micrómetro y se toma la lectura inicial.

- 4.- Se pone en marcha el mecanismo del dispositivo de carga. El marco desciende con una velocidad constante comprimiendo al espécimen contra la plataforma con lo cual el dispositivo mide las cargas aplicadas.
- 5.- Se toman lecturas de carga a cada milímetro de deformación. Esta frecuencia puede variar de acuerdo con la mayor o menor rigidez del espécimen. La velocidad de deformación común es de 1 mm/min sin embargo se pueden precisar velocidades mayores o menores.
- 6.- Por lo general la falla del espécimen está señalada por un salto en la aguja de la carátula del dispositivo de carga.
- 7.- Al fallar la probeta se hace un croquis de ésta.
- 8.- Se coloca la probeta en una caja, se pesa y se coloca en el

torno para su secado.

**IV. 18 Cálculo de la prueba de compresión simple. (Fármica IV.5)**

1.- Con las áreas iniciales se calcula el área media  $A_m$  como sigue:

$$A_m = \frac{10.17 + 10.09 + 9.99}{6} = 9.94 \text{ cm}^2$$

$$A_m = \frac{A_s + 4A_c + A_i}{6}$$

donde:

$A_s$  = área superior

$A_c$  = área central

$A_i$  = área inferior

2.- Se obtienen el volumen  $V$  y el peso volumétrico húmedo  $\bar{V}_m$  como sigue:

$$V = 9.94 \times 8.30 = 84.49 \text{ cm}^3$$

$$V = A_m H_m$$

donde  $H_m$  = altura de la muestra

$$\bar{V}_m = \frac{158.50}{84.49} = 1.88 \text{ Tres/cm}^3$$

$$\bar{V}_m = \frac{W_1}{V}$$

donde  $W_1$  = peso de la probeta

$$\delta = 8.30 - 8.00 = 0.30$$

3.- Se determina la deformación  $\epsilon$  restando a la lectura inicial del micrómetro las lecturas subsecuentes ( $\epsilon$ )

- 4.- La deformación unitaria  $\epsilon$  se obtiene

$$\epsilon = \frac{3.5}{65} = 0.041$$

$$\epsilon = \frac{\delta}{H_m}$$

- 5.- El área corregida  $A_c$  se obtiene así:

$$A_c = \frac{9.94}{0.959} = 10.36 \text{ cm}^2$$

$$A_c = \frac{A_m}{1 - \epsilon}$$

- 6.- El esfuerzo  $E$  se obtiene dividiendo la carga  $P$  entre el área corregida

$$E = \frac{3.6}{10.36} = 0.340 \text{ kg/cm}^2$$

$$E = \frac{P}{A_c}$$

- 7.- Se determina el contenido de agua  $w$  como sigue:

$$w = \frac{44.0}{114.3} \times 100 = 38\%$$

$$w = \frac{W_w}{W_s} \times 100$$

dónde:

$W_w$  = peso del agua

$W_s$  = peso de los sólidos

- 8.- Con el peso específico de sólidos  $\gamma_s$  se determina peso volumétrico seco T.d. relación de vacíos e y grado de asentamiento  $G_w$  como sigue:

$$\gamma_d = \frac{1.33}{1.36} = 1.362 \text{ Ton/m}^3$$

$$\gamma_d = \frac{g}{1+w}$$

$$e = \frac{2.68}{1.362} - 1 = 0.968$$

$$e = \frac{g_w}{\gamma_d} - 1$$

$$G_w = \frac{2.68(0.39)}{0.968} \times 100 = 100\%$$

$$G_w = \frac{g_w w}{e} \times 100$$

#### IV.19 Posibles errores

1. - Incorrecta medición del espécimen.
2. - Mal cabecando del espécimen.
3. - Griezas o fisuras en el espécimen.
4. - Mala determinación de esfuerzos y deformaciones.

**FACULTAD DE INGENIERIA**  
**LABORATORIO DE MECANICA DE SUELOS**  
**COMPRESION SIMPLE**

OBRA Mariña - Mierlo  
 LOCALIZACION Lote 2000 sondeo N° 1  
 MUESTRA N° 3 PROF. 2.00 - 2.70 m  
 DESCRIPCION Agrícola seco  
 FECHA 19-II-79 OPERADOR Volumen CALCULO A Línea

MEDIDAS DE LA MUESTRA.						
D	C	H	A =	W =	156.50	
3.60	—	—	10.17	—	—	
3.45	—	—	9.89	—	—	
3.30	—	—	9.59	—	—	
3.15	—	—	9.29	—	—	
2.90	—	—	8.99	—	—	
2.70	—	—	8.69	—	—	
			A = $\frac{A_1 + A_2}{2}$	59.75	9.54	Tensión

VELOCIDAD DE APLICACION DE LA CARGA:						
TIEMPO	CARGA	DEFORMACION TOTAL	DEFORMACION INICIAL	DEFORMACION MAXIMA	AREA	ESFuerzo
0	0	0	—	—	—	—
1	1.0	0.3	—	—	—	—
2	2.0	1.0	—	—	—	—
3	3.0	2.0	—	—	—	—
4	4.0	3.0	—	—	—	—
5	5.0	3.5	0.041	0.959	10.36	10.540
6	5.6	4.30	—	—	—	—

TIEMPO	CARGA	DEFORMACION TOTAL	DEFORMACION INICIAL	DEFORMACION MAXIMA	AREA	ESFuerzo	COMBINACION DE AREA
0	0	0	—	—	—	—	CAPILLA MP 100
1	1.0	0.3	—	—	—	—	PESO CAP. + A1 150.50
2	2.0	1.0	—	—	—	—	PESO CAP. + A2 150.50
3	3.0	2.0	—	—	—	—	PESO AGRU 44.0
4	4.0	3.0	—	—	—	—	PESO CAPILLA 22.0
5	5.0	3.5	0.041	0.959	10.36	10.540	PESO MUELA DEDO 14.5
6	5.6	4.30	—	—	—	—	W = 10

TIEMPO	CARGA	DEFORMACION TOTAL	DEFORMACION INICIAL	DEFORMACION MAXIMA	AREA	ESFuerzo	COMBINACION DE AREA
0	0	0	—	—	—	—	ta = 0.68
1	1.0	0.3	—	—	—	—	ta = 1.75
2	2.0	1.0	—	—	—	—	ta = 1.362
3	3.0	2.0	—	—	—	—	ta = 1
4	4.0	3.0	—	—	—	—	ta = 0.968
5	5.0	3.5	0.041	0.959	10.36	10.540	ta = 0.5
6	5.6	4.30	—	—	—	—	ta = 100%

TIEMPO	CARGA	DEFORMACION TOTAL	DEFORMACION INICIAL	DEFORMACION MAXIMA	AREA	ESFuerzo	COMBINACION DE AREA
0	0	0	—	—	—	—	ta = 0.68
1	1.0	0.3	—	—	—	—	ta = 1.75
2	2.0	1.0	—	—	—	—	ta = 1.362
3	3.0	2.0	—	—	—	—	ta = 1
4	4.0	3.0	—	—	—	—	ta = 0.968
5	5.0	3.5	0.041	0.959	10.36	10.540	ta = 0.5
6	5.6	4.30	—	—	—	—	ta = 100%

DEFORMACIÓN INDICADA EN MM

HORA ANO CORRIENTE: 10:00 hrs

ESCUCHAR DE LA MUESTRA EN LA MUELA:

✓

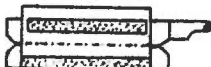
DEFORMACIÓN INDICADA EN MM

LAMINA IV.5

**IV.20 Descripción de la prueba de -  
corte directo consolidada - dre  
nada.**

**IV.20.1 Equipo**

1.- Aparato de prueba directo. Consiste de dos marcos; el inferior fijo y el superior móvil, ambos contienen a la muestra de suelo. Dos piedras porosas una superior y otra inferior proporcionan drenaje libre a muestras saturadas. La parte móvil tiene un arietamiento por medio del cual es posible aplicar una fuerza rasante que provoca la falla del espécimen.



2.- Balanza, cronómetro, cuchillos y seguitas para el labrado del espécimen, anillo, círculas y micrómetro.

**IV.21 Preparación del espécimen -  
con muestras inalteradas.**

1.- Se corta una muestra de aproximadamente 4 cm. de espesor y

10 cm. de diámetro.



2. - Se labra el espécimen, cuando el anillo de dimensiones apropiadas para el espacio en que ha de hacerse la prueba.
3. - Se pone la muestra, se mide la altura y se determina el área. Los datos se anotan en el reglaje (fórmula IV.6)
4. - Se coloca el espécimen en el dispositivo de carga y se centra el punto sobre el marco superior.
5. - Se tocan los micrómetros.

**IV.22 Preparación del espécimen --  
con masas compactadas.**

Los espécimes de material cohesionado deben compactarse por amasado, directamente en la caja de coros.

Los espécimes de material friccional se obtienen compactando el suelo seco por medio de un plato de madera.

Una vez obtenido la pastilla se ejecutan los pasos descritos en IV.21.3 a IV.21.5

**IV.23 Proceso de ensayo**

**a) Etapa de consolidación**

- 
1. - Se aplica la carga normal que produce la presión  $\sigma'$  y se observa la evolución de la consolidación, tomando lecturas en intervalos de tiempo adecuados.

2. - Se traza la curva deformación - log  $\epsilon$  para asegurarse que se ha completado la consolidación primaria bajo  $\sigma'$  antes de esperar la etapa de falla.
- b) Etapa de falla con esfuerzo controlado.



1. - Se colocan cargas sobre la muestra colocando los incrementos con intervalos de 1 minuto.
2. - Se aplican sucesivamente incrementos iguales al 10% de la carga de falla estimada. Al aproximarse a la falla los incrementos pueden reducirse a la mitad o a la cuarta parte de su valor inicial.
3. - Al finalizar la prueba se coloca el espécimen en una cipsela, se pesa y se pone en el horno para obtener su peso seco.

IV.2.6 Cálculo prueba de corte directo. (Mámina IV.6)

$$A = 63.62 \text{ cm}^2 \quad V = 38.17 \text{ cm}^3$$

$$\gamma_m = 1.56 \text{ Ton/m}^3$$

1.- Se calculan área A, volumen V, y peso volumétrico  $\gamma_m$  de la muestra

2.- Se calculan los contenidos de agua w inicial y final como sigue:

$$w_i = \frac{24.70}{34.88} \times 100 = 71\%$$

$$w_f = \frac{Ww_f}{Ws} \times 100$$

$$w_f = \frac{23.50}{34.88} \times 100 = 67\%$$

$$w_f = \frac{Ww_f}{Ws} \times 100$$

dónde:

$Ww$  = peso del agua

$Ws$  = peso de los sólidos.

3.- Se obtiene el volumen de sólidos

$V_s$

$$V_s = \frac{34.88}{2.45} = 14.05 \text{ cm}^3$$

$$V_s = \frac{Ws}{Ss}$$

dónde  $Ss$  = peso específico de sólidos.

4.- Se calculan el volumen de vacíos inicial  $V_{Vi}$ , la relación de vacíos inicial e i y el grado de saturación inicial  $O_{Wi}$  como sigue:

$$V_{vf} = 38.17 - 14.05 = 24.12 \text{ cm}^3$$

$$el = \frac{24.12}{14.05} = 1.720$$

$$Gwf = \frac{24.12}{24.12} \times 100 = 100\%$$

$$V_{vf} = V_1 - V_s$$

$$el = \frac{V_{vf}}{V_s}$$

$$Gwf = \frac{V_{vf}}{V_{vj}} \times 100$$

5.- La altura corregida  $H_c$  después de consolidación es

$$H_c = H_1 - 0.2 = 5.8 \text{ mm.}$$

$$H_c = H_1 - \text{def. cons.}$$

6.- El volumen corregido  $V_c$  es:

$$V_c = 63.62 (0.56) = 36.90 \text{ cm}^3$$

$$V_c = A \cdot H_c$$

donde  $A$  = área de la pasilla

7.- Se determinan volumen de vacíos final  $V_{vf}$ , relación de vacíos final  $el$ , y el grado de saturación  $Gwf$  como sigue:

$$V_{vf} = 36.90 - 14.05 = 22.85 \text{ cm}^3$$

$$el = \frac{22.85}{14.05} = 1.632$$

$$Gwf = \frac{23.50}{22.85} \times 100 = 103\%$$

$$V_{vf} = V_c - V_s$$

$$el = \frac{V_{vf}}{V_s}$$

$$Gwf = \frac{V_{vf}}{V_{vj}} \times 100$$

8.- Se calcula el valor de los esfuerzos normal  $\sigma$  y cortante  $\tau$  en el plazo de falla

$$\sigma = \frac{15.495}{61.75} = 0.251 \text{ kg/cm}^2$$

$$\tau = \frac{7.372}{61.75} = 0.1226 \text{ kg/cm}^2$$

$$\sigma = \frac{P_n}{A_c}$$

$$\tau = \frac{P_t}{A_c}$$

donde:

$P_n$  = fuerza normal aplicada

$P_t$  = fuerza tangencial aplicada

$A_c$  = área corregida por el desplazamiento horizontal del marco superior.

Para una caja de corte circular, el área corregida se calcula:

$$A_c = r^2 - 2\pi r \cos \frac{\Delta}{2r} - \pi r^2 \sin \pi \cos \frac{\Delta}{2r}$$

donde:

$\Delta$  = desplazamiento horizontal

$r$  = radio de la pastilla

9.- Se anota el punto obtenido en un diagrama de Mohr (abscisas  $\sigma$  y ordenadas  $\tau$ ) 1 minuto IV.7

10.- La prueba se realiza con varios especímenes en iguales condiciones pero bajo distinta presión

$$c = 0.2 \text{ Ton/m}^2 \quad \phi = 22.30$$

normal. Se traza la recta que mejor se ajusta a los puntos obtenidos.

Se obtiene la constante  $c$  y el ángulo de fricción  $\phi$  del material en esas condiciones.

#### IV.25 Posibles errores

- 1.- Deslizamiento entre piedras polvosas y espécimen
- 2.- Incorrecta selección de lecciones
- 3.- Remoldeo excesivo de la pila
- 4.- Fricción entre los aristas de las cajas.

FACULTAD DE INGENIERIA  
LABORATORIO DE MECANICA DE SUELOS  
PRUEBA DE CORTE DIRECTO

OBRAS Poyentino V.  
LOCALIZACION 0.1180 SONDEO No. Mala T  
MUESTRA No 18 PROF 7.00 - 8.40 m  
DESCRIPCION Arcilla gris arenosa blanda  
FECHA 2-III-78 OPERADOR P. LERMA CALCULO A LINEAL  
FUERZA NORMAL APLICADA 15.498 Kg  
ESFUERZO NORMAL EN LA FALLA 0.281 Kg/cm<sup>2</sup>

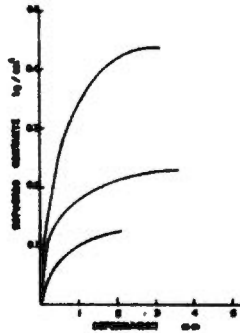
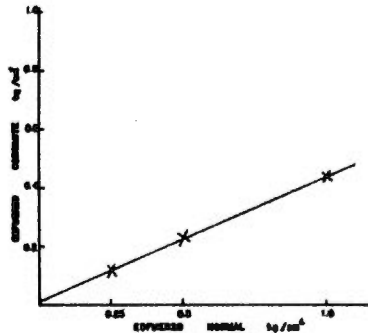
$\beta =$	9.00	cm	$V =$	28.17	cm <sup>2</sup>
$A =$	63.62	cm <sup>2</sup>	$B =$	2.48	
$H =$	0.60	cm	$Ae = \sqrt{2(Vw + H) \frac{A}{B} + (Vw + H) \frac{H}{B}}$		
<b>ETAPAS DE CONSOLIDACIONES</b>					
Peso Horo	Tiempo despues de hor	Lectura de presionometro en hor	Inc. de esp. en hor	Carga por total	Lectura de presionometro en hor
S III-78	0	16.330	0	0	13.650
9.00	0	16.330	0	0	13.650
	5	16.140	1.231	1.231	13.660
10	10	16.135	1.205	2.496	13.720
	15	16.130	1.277	3.773	13.820
9.20	20	16.130	1.268	5.041	14.140
					0.490
					13.650
					0.850
					13.200
					0.200
					12.800
					0.200
					12.600
					0.200
					12.400
					0.200
					12.200
					0.200
					12.000
					0.200
					11.800
					0.200
					11.600
					0.200
					11.400
					0.200
					11.200
					0.200
					11.000
					0.200
					10.800
					0.200
					10.600
					0.200
					10.400
					0.200
					10.200
					0.200
					10.000
					0.200
					9.800
					0.200
					9.600
					0.200
					9.400
					0.200
					9.200
					0.200
					9.000
					0.200
					8.800
					0.200
					8.600
					8.400
					8.200
					8.000
					7.800
					7.600
					7.400
					7.200
					7.000
					6.800
					6.600
					6.400
					6.200
					6.000
					5.800
					5.600
					5.400
					5.200
					5.000
					4.800
					4.600
					4.400
					4.200
					4.000
					3.800
					3.600
					3.400
					3.200
					3.000
					2.800
					2.600
					2.400
					2.200
					2.000
					1.800
					1.600
					1.400
					1.200
					1.000
					800
					600
					400
					200
					0
CONDICIONES DE AGUA					
INICIAL	FINAL				
W.I.T. = 153.20	W.F.T. = 152.00				
W.I.T. = 128.50	W.F.T. = 128.50				
Wet. = 24.70	Wet. = 23.50				
Tens. = 95.00	Tens. = 95.00				
dry. = 34.84	dry. = 34.84				
w. = 70.9	w. = 67.4				
$\gamma_m = 1.56 \text{ Ton/m}^3 \quad \gamma_w = w - w_f \text{ cm} = 6 - 0.2 = 5.8$					
$w_t = \frac{w_t}{w_i}$	$= 14.05 \text{ cm}$	$\gamma_{w_t} = \frac{\gamma_w}{w_t - w_i}$	$= 36.90 \text{ cm}^3$		
$w_t = w_i - w_f$	$= 24.12 \text{ cm}^3$	$\gamma_{w_t} = \frac{\gamma_w}{w_t - w_f}$	$= 22.85 \text{ cm}^3$		
$w_t = w_i - w_f$	$= 1.730$	$w_t = \frac{w_i}{w_t - w_f}$	$= 1.632$		
$w_t = w_i - w_f$	$= 102\%$	$w_t = \frac{w_i}{w_t - w_f}$	$= 103\%$		

LAMINA IV 6

CORTE DIRECTO CONSOLIDADO DRENADO

PROBADA	V <sub>1</sub>	V <sub>2</sub>	G <sub>1</sub>	G <sub>2</sub>	S <sub>1</sub>	S <sub>2</sub>	r	T <sub>1</sub>	T <sub>2</sub>	Probabilidad de confianza en el cálculo
50	56	56			56	56	0.67	0.128	0.128	
1	71	87	1.750	1.550	102	103	0.29	0.128	1.65	
2	70	68	1.750	1.640	99	103	0.30	0.280	1.83	
3	71	59	1.694	1.655	104	104	1.00	0.490	1.87	

$E = 22.8 \text{ MPa}$   
 $C = 0.3 \text{ MPa}^2$



LAMINA IV.7

## CAPITULO V

### CONCLUSIONES

La obtención de las características mecánicas de los suelos mediante pruebas de laboratorio es hasta cierto punto algo sencillo, pero es necesario que exista correlación entre ellas y las observaciones de campo, por lo que es importante elegir el tipo de prueba que mejor represente las condiciones del problema por resolver.

Como se ha podido observar la realización de las pruebas debe hacerse con mucho cuidado a fin de evitar los errores que nos llevan a resultados poco confiables.

Se espera que este trabajo sea de utilidad para todos los alumnos del área de Geotecnia ayudándoles a tener más claros los conceptos adquiridos en clase.

Si ésto se logra se habrá cumplido con los objetivos trazados y la satisfacción de haber contribuido con un granito de arena en la satisfacción del nivel académico de la facultad será muy grande.

## BIBLIOGRAFIA

- 1.- *Apuntes de Mecánica de Suelos* (sin editar) Ing. Francisco Zamora M.
- 2.- *Mecánica de Suelos Tomo I.* Ing. Esteban Juárez B., Alfonso Rico R.
- 3.- *Principio de Geología y Geotecnica para Ingenieros.* D.P. Kriene, WR Judd.
- 4.- *Mecánica de Suelos en la Ingeniería Práctica.* K. Terzaghi -- Ralph B. Peck.
- 5.- *The Mechanics of Engineering Soil.* Casper and Caspary
- 6.- *Foundation Analysis and Design.* J. Bowles
- 7.- *Theoretical Soil Mechanics.* K. Terzaghi
- 8.- *Fundamentals of Soil Mechanics.* W.D. Taylor
- 9.- *Soil Mechanics.* T. William Cambre and Robert V. Whitman
- 10.- *Soil Mechanics Foundation and Earth Structures.* Tchobanoff
- 11.- *Clasification and Identification of Soils,* by Arthur Casagrande  
Proceedings American Society of Civil Engineers. June 1947
- 12.- *Reconocimiento de los Suelos y Comentarios Especiales.*  
H. Cambefort
- 13.- *Instructivo para Ensayos de Suelos.* Secretaría de Recursos Hídricos, 1948.
- 14.- *Manual de Mecánica de Suelos.* Secretaría de Recursos Hídricos, 1970.